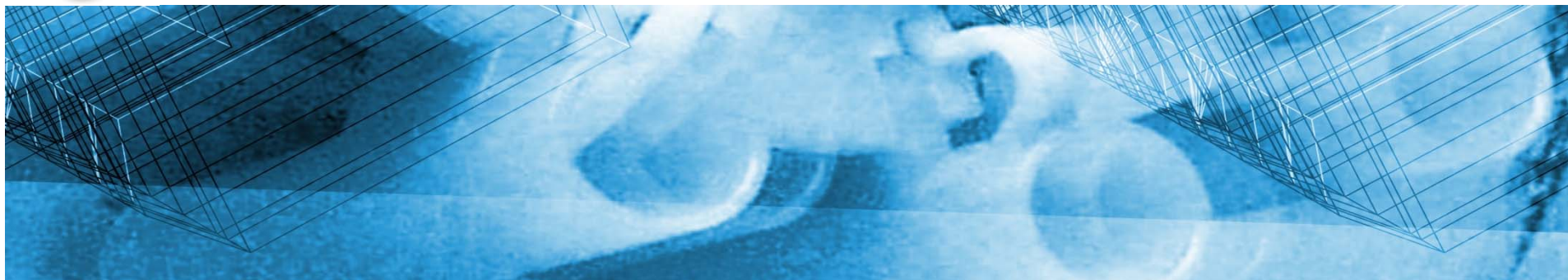




西南交通大学



信号与系统

韩志伟





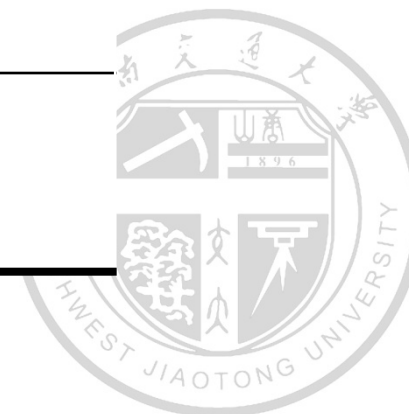
上节课复习：

◆ 系统分析方法

◆ 算子及其性质

◆ 微分方程经典解法

◆ 线性系统时域响应





卷积积分





- 卷积积分性质
- 卷积积分
- 卷积积分图解法

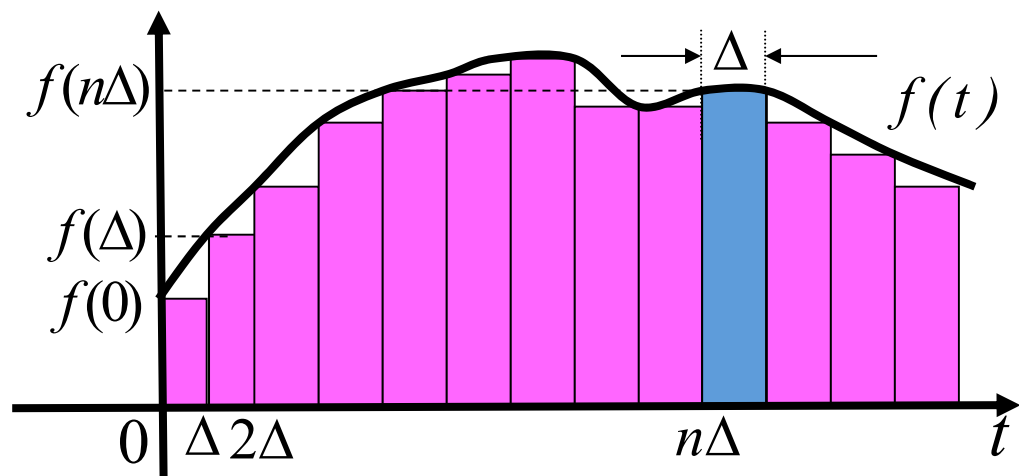




线性系统时域分析

5

1、连续信号的 $\delta(t)$ 分解



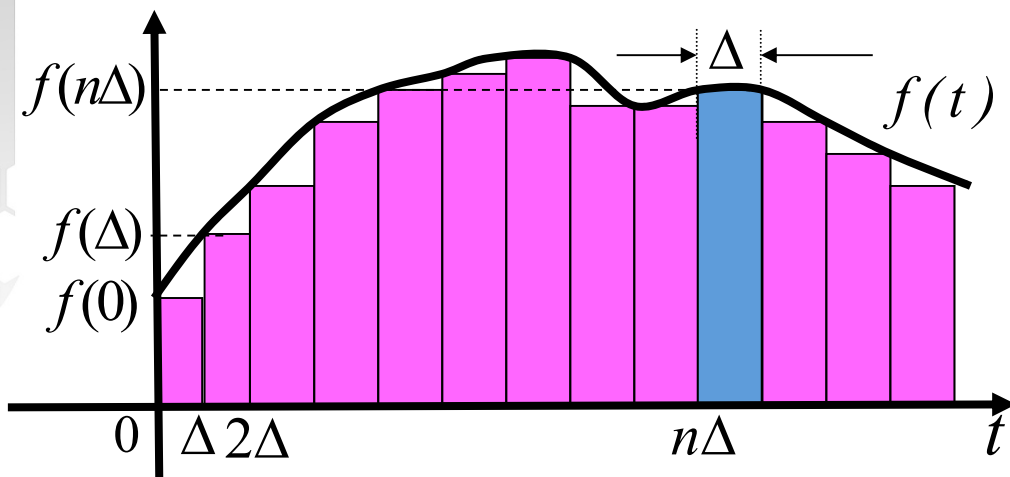
对一般信号 $f(t)$ ，可以将其分成很多 Δ 宽度的区段，用一个阶梯信号 $f_{\Delta}(t)$ 近似表示 $f(t)$ 。当 $\Delta \rightarrow 0$ 时，有 $f_{\Delta}(t) \rightarrow f(t)$



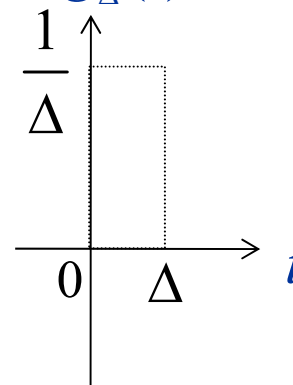


线性系统时域分析

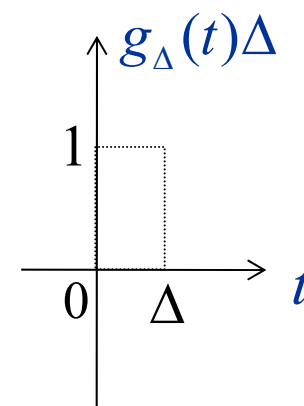
6



门函数
 $g_{\Delta}(t)$



门函数 (高度为1)



第零个矩形脉冲

$$f(0)g_{\Delta}(t)\Delta$$

第1个矩形脉冲

$$f(\Delta)g_{\Delta}(t-\Delta)\Delta$$

第n个矩形脉冲

$$f(n\Delta)g_{\Delta}(t-n\Delta)\Delta$$

$$f(t) \approx \sum_{n=-\infty}^{\infty} f(n\Delta)g_{\Delta}(t-n\Delta)\Delta \quad \text{因为} \quad \lim_{\Delta \rightarrow 0} g_{\Delta}(t) = \delta(t)$$



$$f(t) = \lim_{\Delta \rightarrow 0} \sum_{n=-\infty}^{\infty} f(n\Delta)\delta(t-n\Delta)\Delta \quad \text{分解成冲激脉冲分量和}$$





线性系统时域分析

7

$$f(t) = \lim_{\Delta \rightarrow 0} \sum_{n=-\infty}^{\infty} f(n\Delta) \delta(t - n\Delta) \Delta$$

当 $\Delta \rightarrow 0$ 时, 即 $\Delta \rightarrow d\tau$, $n\Delta$ 成为新变量 τ , **求和** 变成对连续新变量 τ 的**积分**

$$f(t) = \int_{-\infty}^{\infty} f(\tau) \delta(t - \tau) d\tau \quad \text{抽样特性}$$

表明任意波形的信号可以表示为无限多个强度为

$f(\tau)d\tau$ 的冲激信号 $[f(\tau)d\tau] \delta(t - \tau)$ 的积分, 也就是说,

任意波形的信号可以分解为连续的加权冲激信号之和





线性系统时域分析

8

一般信号 $f(t)$ 激励下的零状态响应 $y_f(t)$

$$\delta(t) \longrightarrow h(t)$$

$$\delta(t - n\Delta) \longrightarrow h(t - n\Delta)$$

$$f(n\Delta)\delta(t - n\Delta)\Delta \longrightarrow f(n\Delta)h(t - n\Delta)\Delta$$

$$\lim_{\Delta \rightarrow 0} \sum_{n=-\infty}^{\infty} f(n\Delta)\delta(t - n\Delta)\Delta \longrightarrow \lim_{\Delta \rightarrow 0} \sum_{n=-\infty}^{\infty} f(n\Delta)h(t - n\Delta)\Delta$$

将 $y_f(t)$ 写成积分的形式, 即得任意波形信号 $f(t)$ 作用于线性系统引起的零状态响应

$$y_f(t) = \int_{-\infty}^{\infty} f(\tau)h(t - \tau)d\tau \quad f(t) \text{ 与 } h(t) \text{ 的卷积积分}$$

$$\text{记为 } y_f(t) = f(t) * h(t)$$





•卷积积分（Convolution）的定义

给定两个函数 $f_1(t)$ 和 $f_2(t)$ ，由这两个函数构成积分

$$\int_{-\infty}^{\infty} f_1(\tau) f_2(t-\tau) d\tau$$

这个积分就定义为函数 $f_1(t)$ 和 $f_2(t)$ 的卷积积分

简记为： $f_1(t) * f_2(t)$





线性系统时域分析

10

1、卷积代数

(1) 交换律

$$f_1(t) * f_2(t) = f_2(t) * f_1(t)$$

例: $y_f(t) = f(t) * h(t) = h(t) * f(t)$

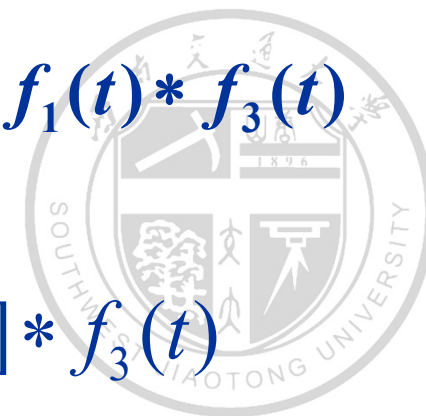
$$= \int_0^t f(\tau)h(t-\tau)d\tau = \int_0^t f(t-\tau)h(\tau)d\tau$$

(2) 分配律

$$f_1(t) * [f_2(t) + f_3(t)] = f_1(t) * f_2(t) + f_1(t) * f_3(t)$$

(3) 结合律

$$f_1(t) * [f_2(t) * f_3(t)] = [f_1(t) * f_2(t)] * f_3(t)$$





线性系统时域分析

11

2、卷积的微分和积分

(1) 微分

$$\frac{d}{dt}[f_1(t) * f_2(t)] = f_1(t) * \frac{df_2(t)}{dt} = \frac{df_1(t)}{dt} * f_2(t)$$

(2) 积分

$$\int_{-\infty}^t [f_1(\tau) * f_2(\tau)] d\tau = f_1(t) * \int_{-\infty}^t f_2(\tau) d\tau = \int_{-\infty}^t f_1(\tau) d\tau * f_2(t)$$

(3) 微积分

$$\frac{df_1(t)}{dt} * \int_{-\infty}^t f_2(\tau) d\tau = f_1(t) * f_2(\tau)$$





线性系统时域分析

12

2、卷积的微分和积分

(1) 微分

$$\frac{d}{dt}[f_1(t) * f_2(t)] = f_1(t) * \frac{df_2(t)}{dt} = \frac{df_1(t)}{dt} * f_2(t)$$

(2) 积分

$$\int_{-\infty}^t [f_1(\tau) * f_2(\tau)] d\tau = f_1(t) * \int_{-\infty}^t f_2(\tau) d\tau = \int_{-\infty}^t f_1(\tau) d\tau * f_2(t)$$

(3) 微积分

$$\frac{df_1(t)}{dt} * \int_{-\infty}^t f_2(\tau) d\tau = f_1(t) * f_2(\tau)$$





线性系统时域分析

13

3、 $f(t)$ 与奇异信号的卷积

(1) $f(t)$ 与 $\delta(t)$ 的卷积

$$f(t) * \delta(t) = f(t)$$

证明:
$$\begin{aligned} f(t) * \delta(t) &= \delta(t) * f(t) = \int_{-\infty}^{\infty} f(t-\tau) \delta(\tau) d\tau \\ &= f(t) \int_{-\infty}^{\infty} \delta(\tau) d\tau = f(t) \end{aligned}$$

例:
$$\delta(t) * \delta(t) = \delta(t)$$

推论
$$f(t) * \delta(t-T) = f(t-T)$$

$$f(t-T_1) * \delta(t-T_2) = f(t-T_1-T_2)$$

$$\delta(t-T_1) * \delta(t-T_2) = \delta(t-T_1-T_2)$$





线性系统时域分析

14

(2) $f(t)$ 与 $u(t)$ 的卷积

$$f(t) * u(t) = \int_{-\infty}^t f(\tau) d\tau$$

证明: $f(t) * u(t) = \int_{-\infty}^{\infty} f(\tau) u(t-\tau) d\tau$

$$= \int_{-\infty}^t f(\tau) d\tau$$

推论 $f(t) * u(t-t_0) = \int_{-\infty}^{t-t_0} f(\tau) d\tau$





线性系统时域分析

15

4、卷积时移

若 $f_1(t) * f_2(t) = y(t)$

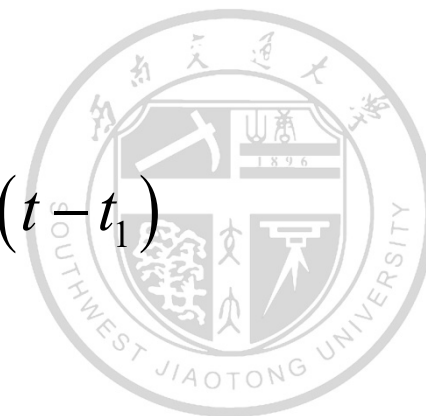
则 $f_1(t - t_0) * f_2(t) = f_1(t) * f_2(t - t_0) = y(t - t_0)$

式中 t_0 为实常数

推论 $f_1(t - t_1) * f_2(t - t_2) = y(t - t_1 - t_2)$

式中 t_1 和 t_2 为实常数

例: $f(t) * \delta(t) = f(t)$ $f(t) * \delta(t - t_1) = f(t - t_1)$





线性系统时域分析

16

二. 卷积的计算

卷积积分的计算有解析法、图解法和数值解法。

1、卷积积分的解析法

例1: 已知 $f(t) = u(t)$ $h(t) = [-2e^{-2t} + 3e^{-3t}]u(t)$ 求 $y_f(t)$ 。

解: $y_f(t) = f(t) * h(t) = (-2e^{-2t} + 3e^{-3t})u(t) * u(t)$

由性质 $f(t) * u(t) = \int_{-\infty}^t f(\tau) d\tau$

$$\begin{aligned} \text{则 } y_f(t) &= \int_{-\infty}^t (-2e^{-2\tau} + 3e^{-3\tau})u(\tau) d\tau \\ &= \int_0^t (-2e^{-2\tau} + 3e^{-3\tau}) d\tau \\ &= e^{-2t} - e^{-3t} \quad t \geq 0 \\ &= (e^{-2\tau} - e^{-3\tau}) \Big|_0^t \end{aligned}$$





线性系统时域分析

17

2、卷积积分的图解法

两个信号的卷积积分可以利用定义式计算，也可以用图解的方法计算。

通过卷积积分的图形解释，很容易理解卷积运算。

用图解法直观，尤其是函数式复杂时，用解析式法作容易出错，通过图形帮助**确定积分区间和积分上下限**更为方便准确。

最好将图解法、解析法两种方法结合起来





线性系统时域分析

18

$\int_{-\infty}^{+\infty} f_1(\tau) f_2(t - \tau) d\tau$ 图解法步骤如下:

第1步: 变量替换。画出 $f_1(t)$ 与 $f_2(t)$ 波形, 将图中 t 轴改换成 τ 轴, 分别得到 $f_1(\tau)$ 与 $f_2(\tau)$ 的波形。

第2步: 翻转。将 $f_2(\tau)$ 波形以纵轴为中心翻转 180° 得到 $f_2(-\tau)$ 的波形。

$$-(\tau - t) = t - \tau$$

第3步: 平移。将 $f_2(-\tau)$ 沿时间轴 τ 平移 t , 变为 $f_2(t - \tau)$ 。

第4步: 相乘。将 $f_1(\tau)$ 与 $f_2(t - \tau)$ 相乘得卷积积分式中的被积函数 $f_1(\tau) f_2(t - \tau)$ 。

第5步: 计算乘积信号 $f_1(\tau) f_2(t - \tau)$ 波形与 τ 轴之间的面积, 即卷积在 t 时刻的值。

第6步: 令变量 t 在 $(-\infty, \infty)$ 范围内变化, 重复第3、4、5步, 最终得到卷积信号 $f_1(t) * f_2(t)$ 的值。

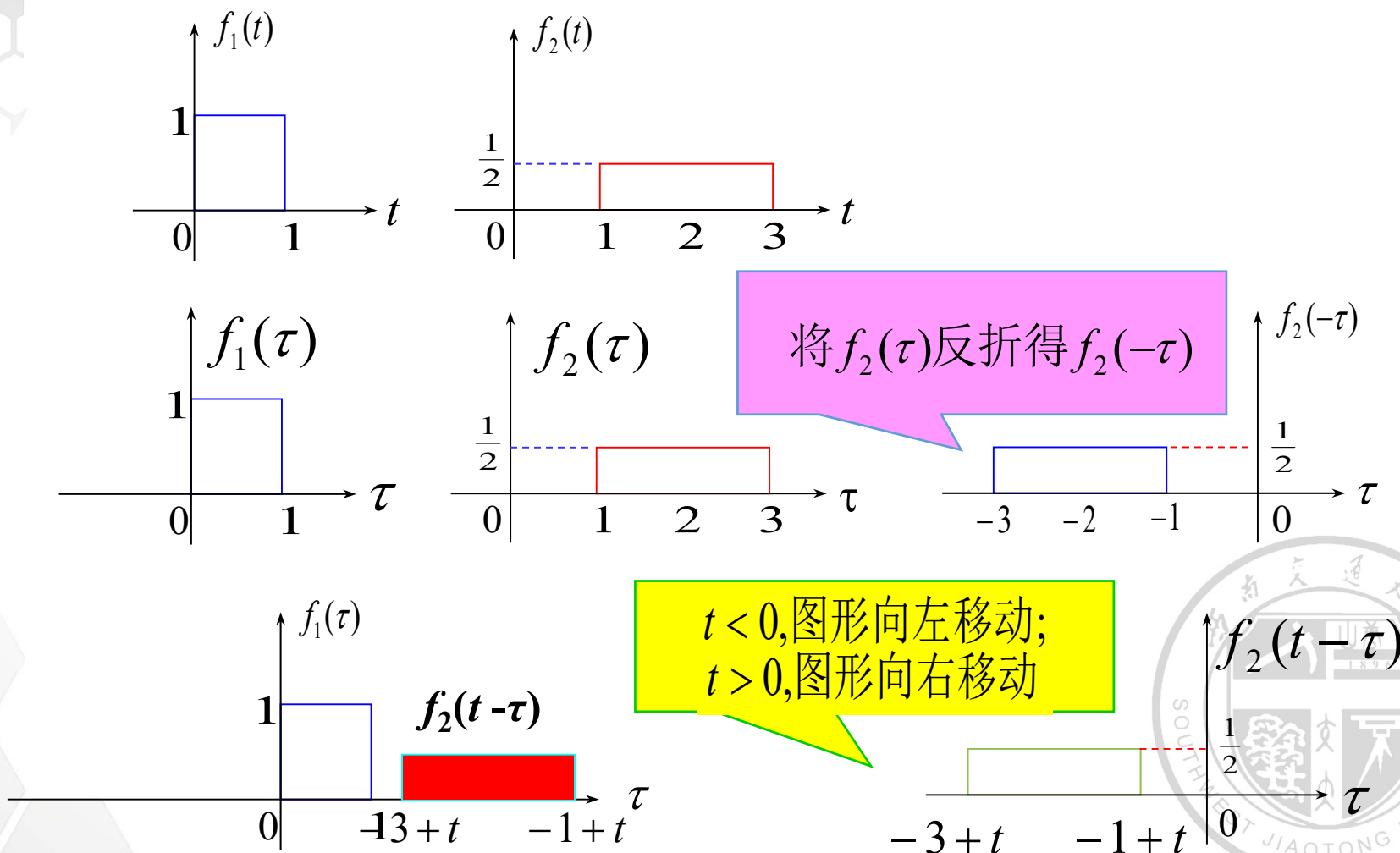




线性系统时域分析

19

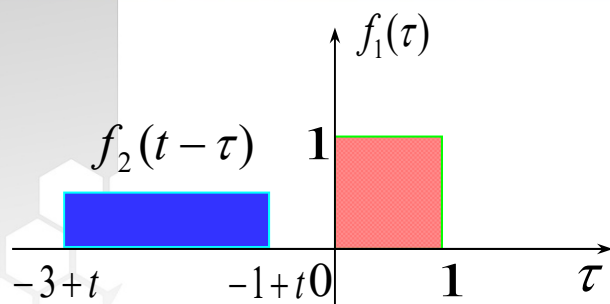
例2: 计算 $f(t) = f_1(t) * f_2(t) = \int_{-\infty}^{\infty} f_1(\tau) f_2(t - \tau) d\tau$





线性系统时域分析

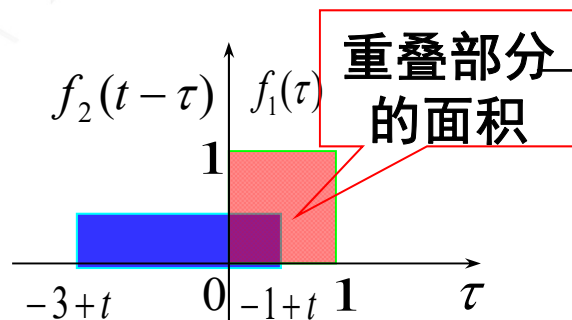
20



当 $-1+t < 0$ 即 $t < 1$ 时:

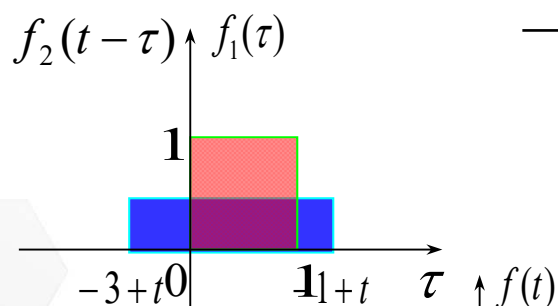
$f_2(t-\tau)$ 和 $f_1(\tau)$ 没有公共的重叠部分,

故卷积 $f(t) = f_1(t) * f_2(t) = 0$



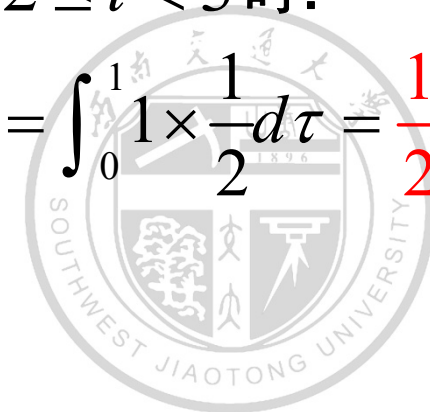
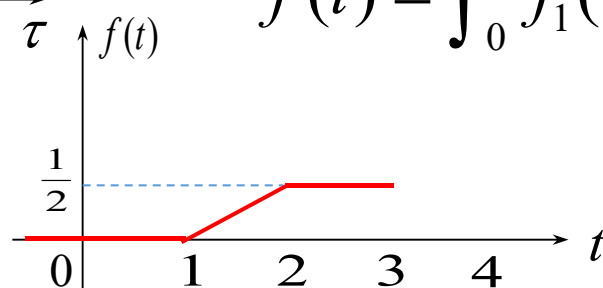
当 $0 \leq -1+t < 1$ 即 $1 \leq t < 2$ 时:

$$f(t) = \int_0^{-1+t} f_1(\tau) f_2(t-\tau) d\tau = \int_0^{-1+t} 1 \times \frac{1}{2} d\tau = \frac{1}{2}(t-1)$$



当 $1 \leq -1+t$ 且 $-3+t < 0$ 即 $2 \leq t < 3$ 时:

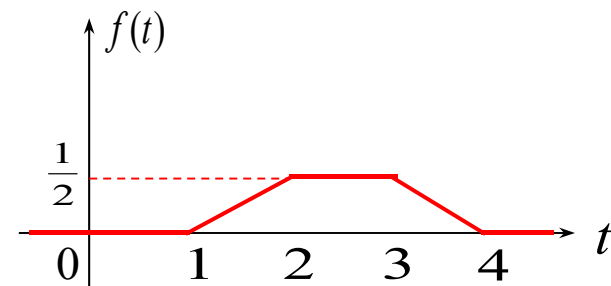
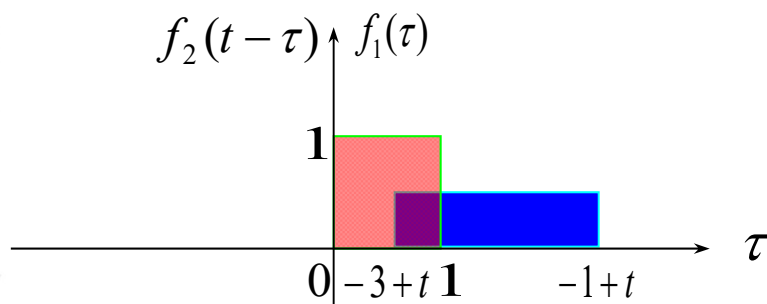
$$f(t) = \int_0^1 f_1(\tau) f_2(t-\tau) d\tau = \int_0^1 1 \times \frac{1}{2} d\tau = \frac{1}{2}$$





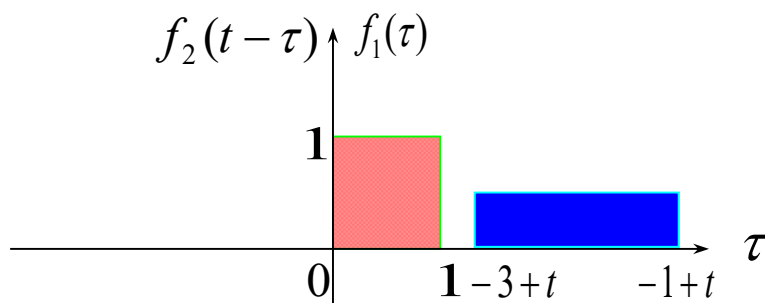
线性系统时域分析

21



当 $0 \leq -3+t < 1$ 即 $3 \leq t < 4$ 时:

$$f(t) = \int_{-3+t}^1 f_1(\tau) f_2(t-\tau) d\tau = \int_{-3+t}^1 1 \times \frac{1}{2} d\tau = \frac{1}{2}(4-t)$$



当 $-3+t \geq 1$ 即 $t \geq 4$ 时:

$f_2(t-\tau)$ 和 $f_1(\tau)$ 没有公共的重叠部分,
故卷积 $f(t) = f_1(t) * f_2(t) = 0$





线性系统时域分析

22



中国超级计算机再夺世界第一
天河二号 13亿人用计算器
运算1小时 算1000年

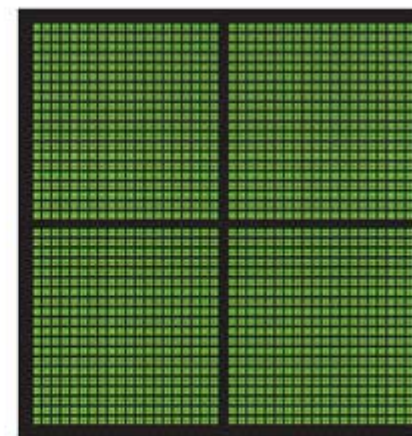
天河二号超级计算机由国防科技大学自主研制，采用2011年11月发布的Intel Xeon Phi处理器，峰值性能达到54.9 petaflops，连续运行7天，总计算量达到47.1 petaflops，再次夺得世界超级计算机500强榜首。



中关村在线
zol.com.cn



CPU
MULTIPLE CORES



GPU
THOUSANDS OF CORES

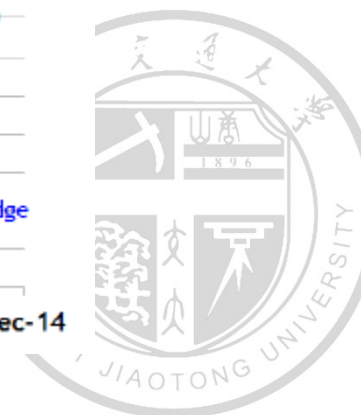
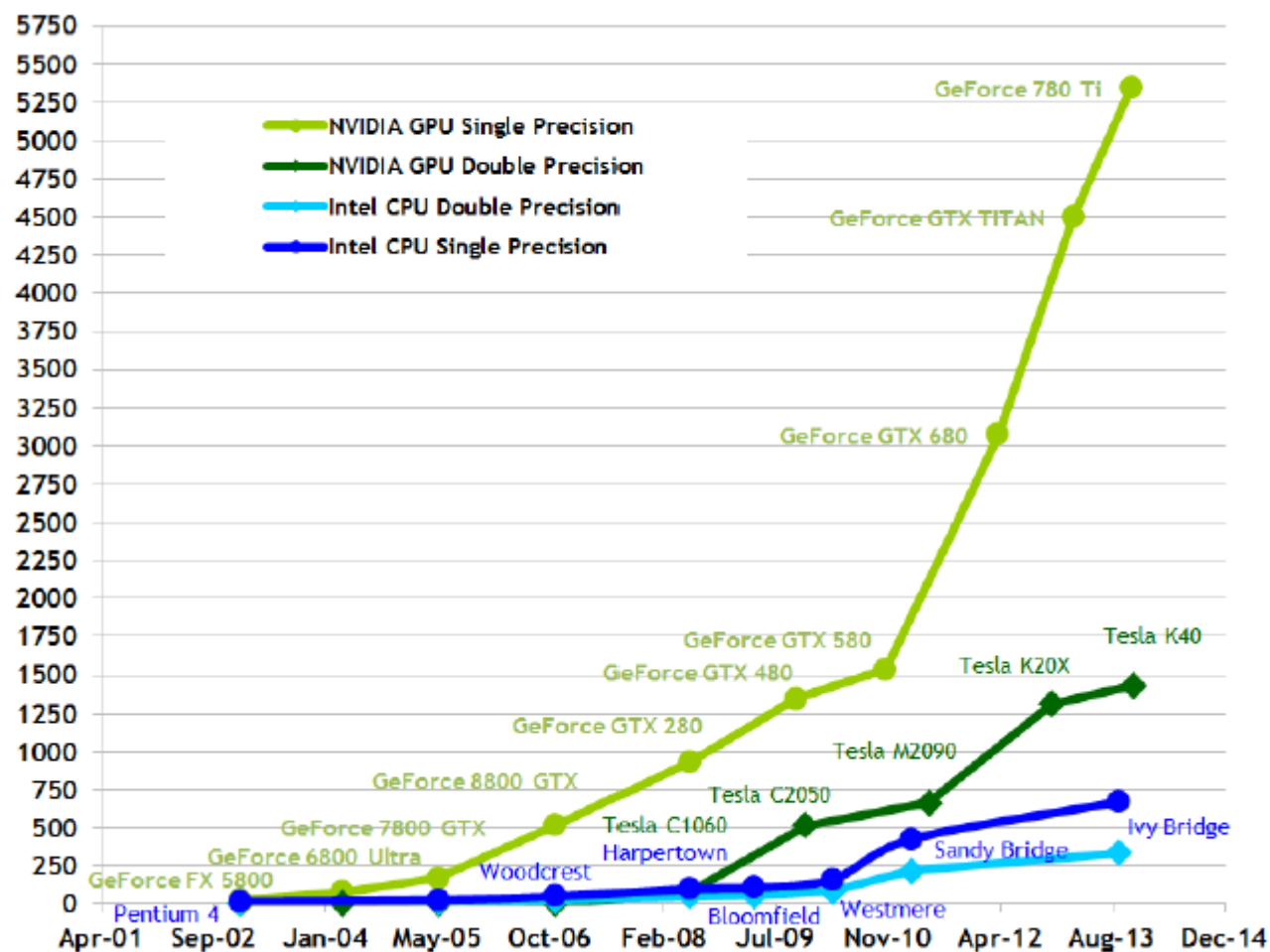
西南交通大学
SOUTHWEST JIAOTONG UNIVERSITY



线性系统时域分析

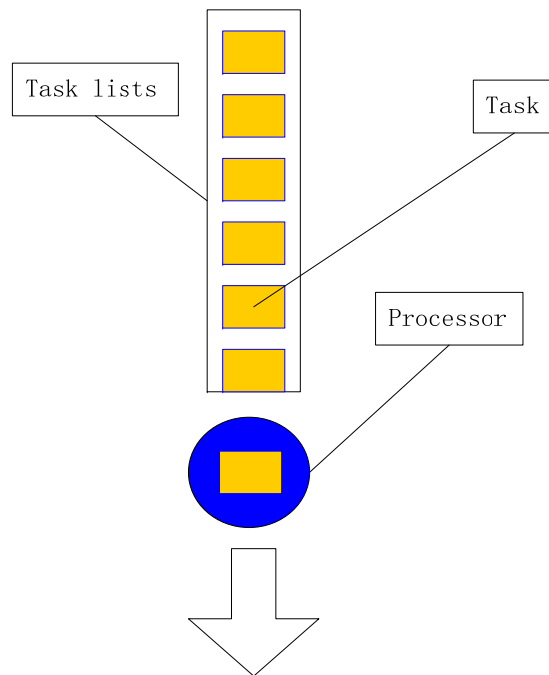
23

Theoretical GFLOP/s

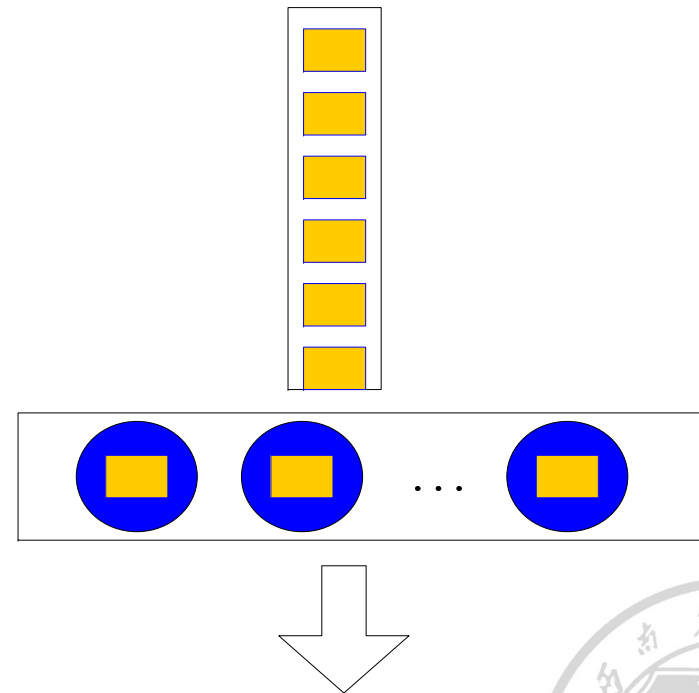




❖ What is the parallel compute?



Serial



Parallel





线性系统时域分析

25

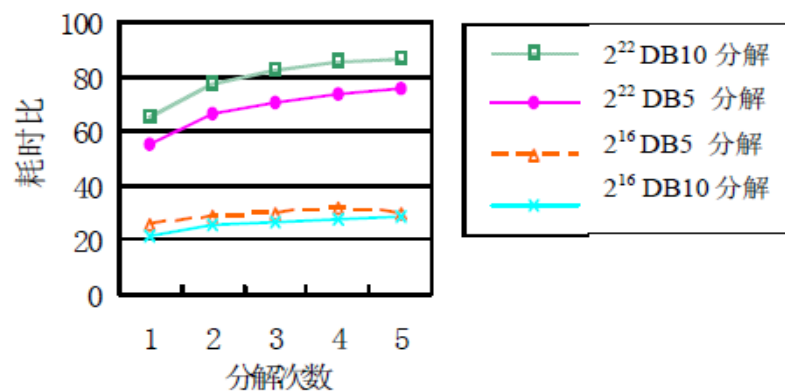
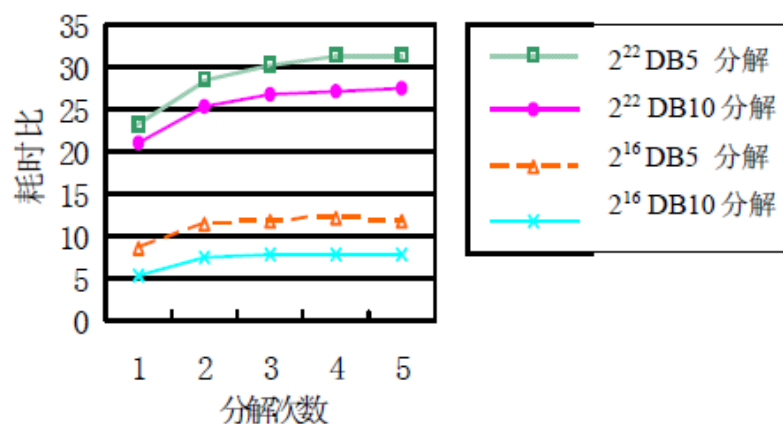


表 1 2¹⁶ 数据 DB5 小波分解耗时

Tab 1 2¹⁶data DB5 wavelet decomposition time

| 算法 | | 分解次数 | 1 | 2 | 3 | 4 | 5 |
|----|------------------|------|------|------|------|------|------|
| 并行 | CUDA 并行算法 | | 0.81 | 0.92 | 1.05 | 1.08 | 1.15 |
| | CPU 串行算法 | | 6.9 | 10.5 | 12.2 | 13 | 13.4 |
| 串行 | Matlab engine 计算 | | 20.8 | 26.6 | 30.9 | 33.9 | 34.1 |

表 2 2¹⁶ 数据 DB10 小波分解耗时

Tab 2 2¹⁶data DB10 wavelet decomposition time

| 算法 | | 分解次数 | 1 | 2 | 3 | 4 | 5 |
|----|------------------|------|------|------|------|------|------|
| 并行 | CUDA 并行算法 | | 1.26 | 1.42 | 1.57 | 1.65 | 1.71 |
| | CPU 串行算法 | | 6.9 | 10.5 | 12.1 | 13.1 | 13.5 |
| 串行 | Matlab engine 计算 | | 27.1 | 36.7 | 41.2 | 45.7 | 48.3 |

表 3 2²² 数据 DB5 小波分解耗时

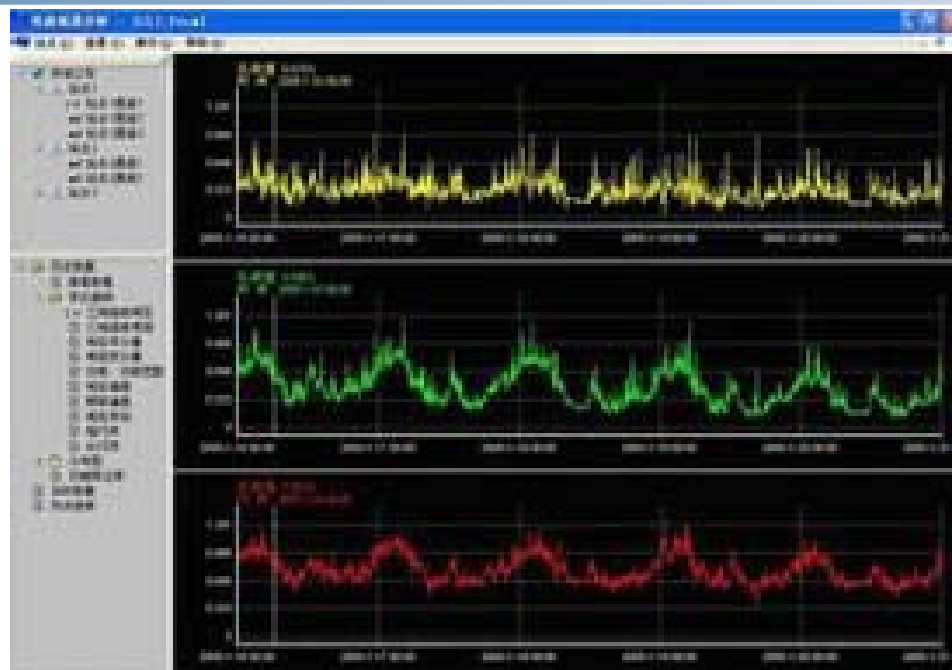
Tab 3 2²²data DB5 wavelet decomposition time

| 算法 | | 分解次数 | 1 | 2 | 3 | 4 | 5 |
|----|------------------|------|-------|-------|-------|-------|-------|
| 并行 | CUDA 并行算法 | | 21.2 | 25.8 | 28.4 | 29.5 | 30.4 |
| | CPU 串行算法 | | 492.3 | 740.1 | 866.4 | 925.2 | 956.6 |
| 串行 | Matlab engine 计算 | | 11733 | 17052 | 1997 | 21743 | 22804 |

表 4 2²² 数据 DB10 小波分解耗时

Tab 4 2²²data DB10 wavelet decomposition time

| 算法 | | 分解次数 | 1 | 2 | 3 | 4 | 5 |
|----|------------------|------|-------|-------|-------|-------|-------|
| 并行 | CUDA 并行算法 | | 23.2 | 28.9 | 31.8 | 33.5 | 34.6 |
| | CPU 串行算法 | | 486.2 | 733.2 | 856.3 | 913.9 | 947.5 |
| 串行 | Matlab engine 计算 | | 15209 | 22446 | 26335 | 28552 | 29942 |





第3章

线性系统频域分析





线性系统频域分析

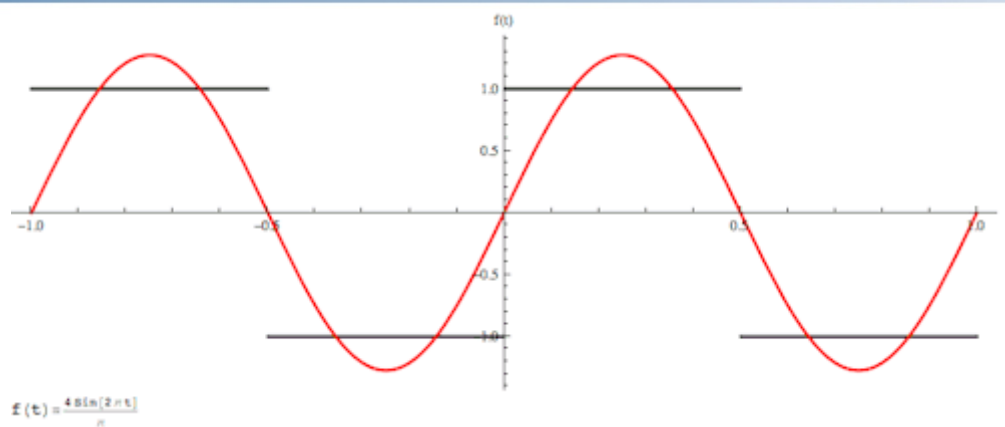
28





线性系统频域分析

29





§ 3.1 周期信号的频谱分析 ——傅里叶级数

- 三角形式的傅里叶级数
- 指数形式的傅里叶级数





线性系统频域分析

31

一. 三角形式的傅里叶级数形式

周期信号 $f(t)$ ，周期为 T ，基波角频率为 $\omega_1 = \frac{2\pi}{T}$

在满足狄里赫利条件时，可展成

$$f(t) = a_0 + \sum_{n=1}^{\infty} (a_n \cos n\omega_1 t + b_n \sin n\omega_1 t) \quad (1)$$

称为三角形式的傅里叶级数，其系数

直流分量 $a_0 = \frac{1}{T} \int_{t_0}^{t_0+T} f(t) dt$

余弦分量的幅度 $a_n = \frac{2}{T} \int_{t_0}^{t_0+T} f(t) \cos n\omega_1 t dt$

正弦分量的幅度 $b_n = \frac{2}{T} \int_{t_0}^{t_0+T} f(t) \sin n\omega_1 t dt$





利用三角函数的边角关系， 还可以将一般三角形式化为标准的三角形式

$$\begin{aligned} f(t) &= a_0 + \sum_{n=1}^{\infty} (a_n \cos n\omega_0 t + b_n \sin n\omega_0 t) \\ &= a_0 + \sum_{n=1}^{\infty} \sqrt{a_n^2 + b_n^2} \left[\frac{a_n}{\sqrt{a_n^2 + b_n^2}} \cos n\omega_0 t - \frac{b_n}{\sqrt{a_n^2 + b_n^2}} \sin n\omega_0 t \right] \\ &= a_0 + \sum_{n=1}^{\infty} c_n (\cos \phi_n \cos n\omega_0 t - \sin \phi_n \sin n\omega_0 t) \\ &= c_0 + \sum_{n=1}^{\infty} c_n \cos(n\omega_0 t + \phi_n) \end{aligned}$$





线性系统频域分析

33

$$f(t) = a_0 + \sum_{n=1}^{\infty} (a_n \cos n\omega_1 t + b_n \sin n\omega_1 t) \quad (1)$$

余弦形式

$$f(t) = c_0 + \sum_{n=1}^{\infty} c_n \cos(n\omega_1 t + \varphi_n) \quad (2)$$

$$c_0 = a_0 \quad c_n = \sqrt{a_n^2 + b_n^2} \quad \phi_n = \arctan\left(\frac{-b_n}{a_n}\right)$$

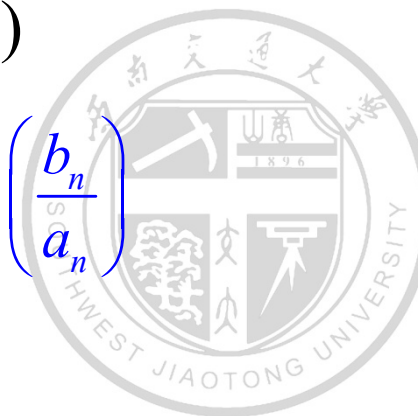
$$a_n = c_n \cos \varphi_n \quad b_n = -c_n \sin \varphi_n$$

正弦形式

$$f(t) = d_0 + \sum_{n=1}^{\infty} d_n \sin(n\omega_1 t + \theta_n) \quad (3)$$

$$d_0 = a_0 \quad d_n = \sqrt{a_n^2 + b_n^2} \quad \theta_n = \arctan\left(\frac{b_n}{a_n}\right)$$

$$a_n = d_n \sin \theta_n \quad b_n = d_n \cos \theta_n$$





线性系统频域分析

34

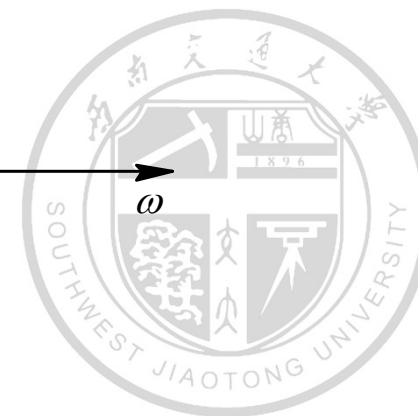
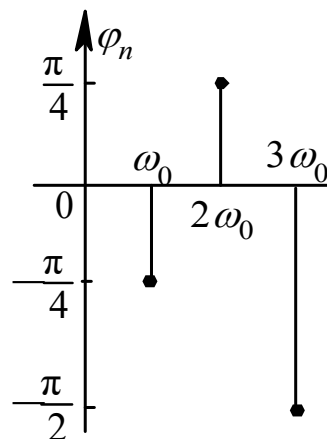
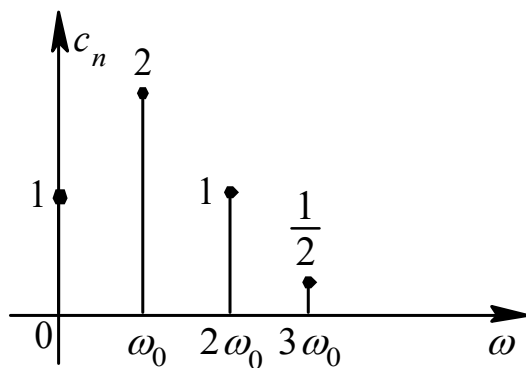
已知周期信号 $f(t)$ 如下，画出其频谱图。

$$f(t) = 1 + \sqrt{2} \cos \omega_0 t - \cos(2\omega_0 t + \frac{5\pi}{4}) + \sqrt{2} \sin \omega_0 t + \frac{1}{2} \sin 3\omega_0 t$$

解 将 $f(t)$ 整理为标准形式

$$\begin{aligned} f(t) &= 1 + 2 \cos(\omega_0 t - \frac{\pi}{4}) + \cos(2\omega_0 t - \frac{5\pi}{4} - \pi) + \frac{1}{2} \cos(3\omega_0 t - \frac{\pi}{2}) \\ &= 1 + 2 \cos(\omega_0 t - \frac{\pi}{4}) + \cos(2\omega_0 t - \frac{5\pi}{4}) + \frac{1}{2} \cos(3\omega_0 t - \frac{\pi}{2}) \end{aligned}$$

振幅谱与相位谱如图3.1-1所示。





二．指数形式的傅里叶级数

1、指数形式的级数

$$\begin{aligned} & a_n \cos n\omega_1 t + b_n \sin n\omega_1 t \\ &= a_n \frac{e^{jn\omega_1 t} + e^{-jn\omega_1 t}}{2} + b_n \frac{e^{jn\omega_1 t} - e^{-jn\omega_1 t}}{2j} \\ &= \frac{a_n - jb_n}{2} e^{jn\omega_1 t} + \frac{a_n + jb_n}{2} e^{-jn\omega_1 t} \end{aligned}$$

$$\left. \begin{aligned} \cos n\omega_0 &= \frac{1}{2}(e^{jn\omega_0} + e^{-jn\omega_0}) \\ \sin n\omega_0 &= \frac{1}{j2}(e^{jn\omega_0} - e^{-jn\omega_0}) \end{aligned} \right\}$$

$$e^{\pm jn\omega_0} = \cos n\omega_0 \pm j \sin n\omega_0$$

$$-\infty < t < \infty$$

$$\text{令 } a_0 = F_0 \quad F_n = \frac{a_n - jb_n}{2} \quad F_{-n} = \frac{a_n + jb_n}{2}$$

$$\text{则 } a_n \cos n\omega_1 t + b_n \sin n\omega_1 t = F_n e^{jn\omega_1 t} + F_{-n} e^{-jn\omega_1 t}$$





线性系统频域分析

36

$$\begin{aligned} a_n \cos n\omega_1 t + b_n \sin n\omega_1 t &= F_n e^{jn\omega_1 t} + F_{-n} e^{-jn\omega_1 t} \\ \therefore f(t) &= a_0 + \sum_{n=1}^{\infty} (a_n \cos n\omega_1 t + b_n \sin n\omega_1 t) \\ &= F_0 + \sum_{n=1}^{\infty} [F_n e^{jn\omega_1 t} + F_{-n} e^{-jn\omega_1 t}] \\ &= F_0 + \sum_{n=1}^{\infty} F_n e^{jn\omega_1 t} + \sum_{n=-\infty}^{-1} F_n e^{jn\omega_1 t} \\ &= \sum_{n=-\infty}^{\infty} F_n e^{jn\omega_1 t} \quad -\infty < t < \infty \end{aligned}$$

傅里叶级数的复指数形式

F_n 为傅里叶级数系数，通过 F_n ，周期函数 $f(t)$ 被表示成不同频率虚指数信号之和。

三角傅里叶级数和指数傅里叶级数虽形式不同，但实际上都属于同一性质的级数，即都是将一信号表示为直流分量和各次谐波分量之和。





连续时间傅里叶级数变换对：

$$f(t) = \sum_{n=-\infty}^{\infty} F_n e^{jn\omega_1 t} \quad (4)$$

$$F_n = \frac{1}{T} \int_T f(t) e^{-jn\omega_1 t} dt \quad (5)$$





线性系统频域分析

38

指数形式与三角形系数之间的关系为

$$F_0 = a_0 = c_0$$

$$F_n = \frac{1}{2}(a_n + jb_n) = \frac{1}{2}c_n e^{j\phi_n}$$

$$F_{-n} = \frac{1}{2}(a_n - jb_n) = \frac{1}{2}c_n e^{-j\phi_n}$$

$$|F_n| = \frac{1}{2}c_n = |F_{-n}|$$

$$\phi_n = -\arctan \frac{b_n}{a_n}$$

$$F_n + F_{-n} = 2\operatorname{Re}[F_n] = a_n$$

$$j(F_n - F_{-n}) = j2\operatorname{Im}[F_n] = b_n$$

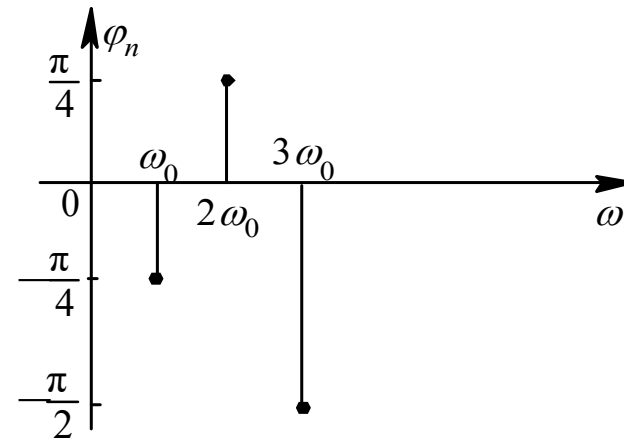
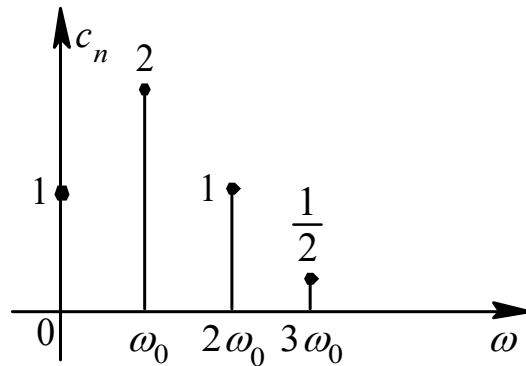




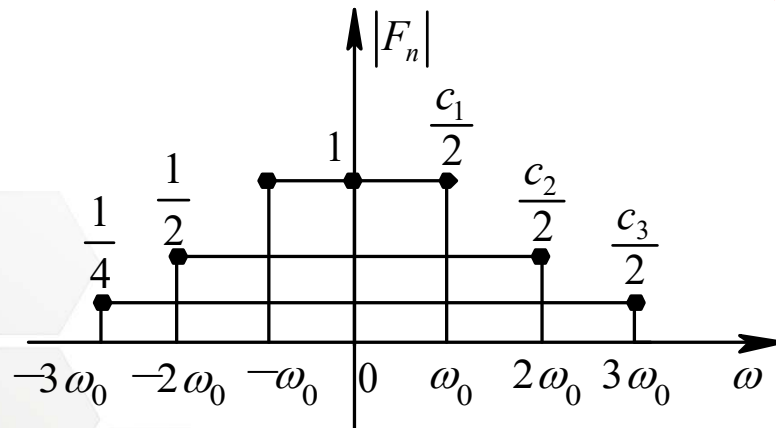
线性系统频域分析

39

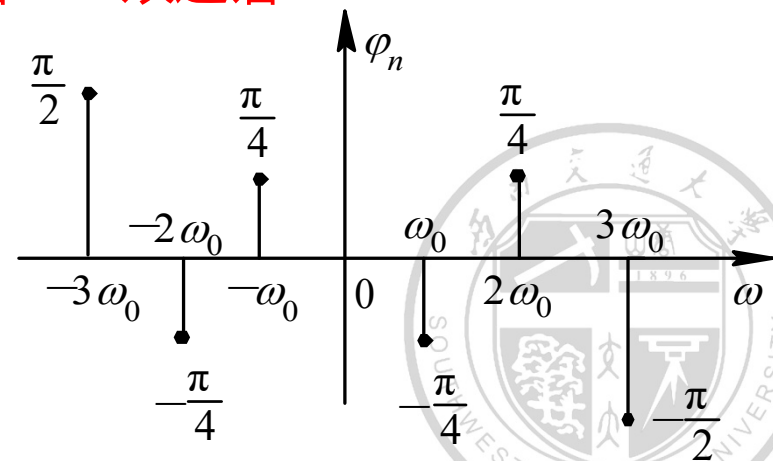
三角形式频谱 单边谱



指数形式频谱 双边谱



(a)



(b)

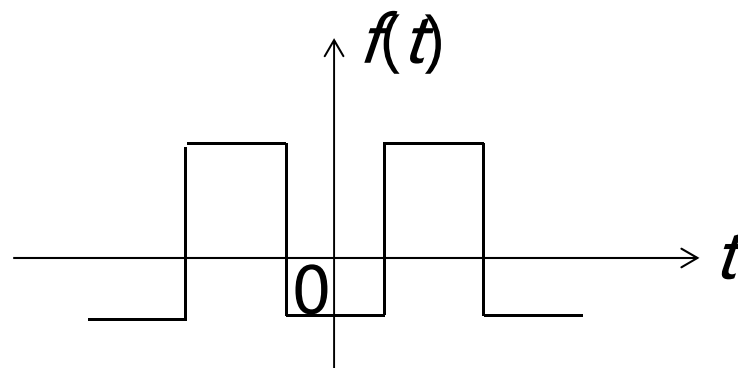
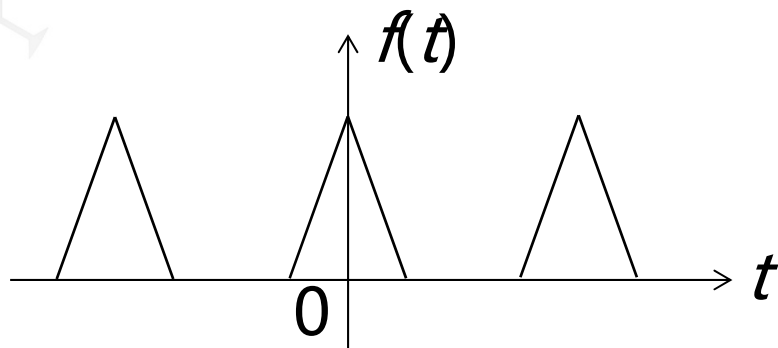


线性系统频域分析

40

三、波形的对称性与傅里叶级数系数的关系

1. 偶函数： $f(t) = f(-t)$ 纵轴对称



$$b_n = \frac{2}{T} \int_{-\frac{T}{2}}^{\frac{T}{2}} f(t) \sin n\omega t dt = 0$$

$$a_n = \frac{2}{T} \int_{-\frac{T}{2}}^{\frac{T}{2}} f(t) \cos n\omega t dt = \frac{4}{T} \int_0^{\frac{T}{2}} f(t) \cos n\omega t dt$$

只有恒定分量和余弦项

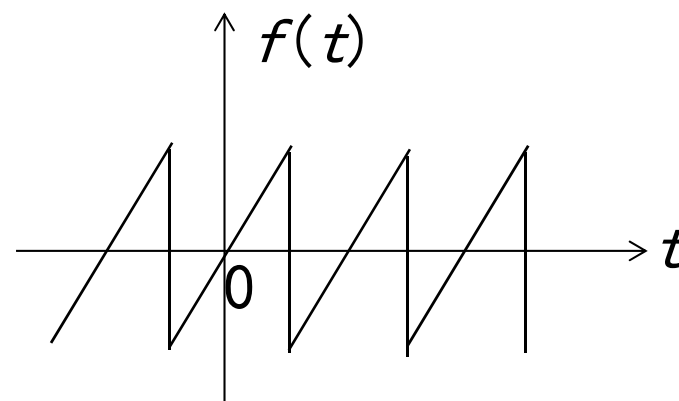
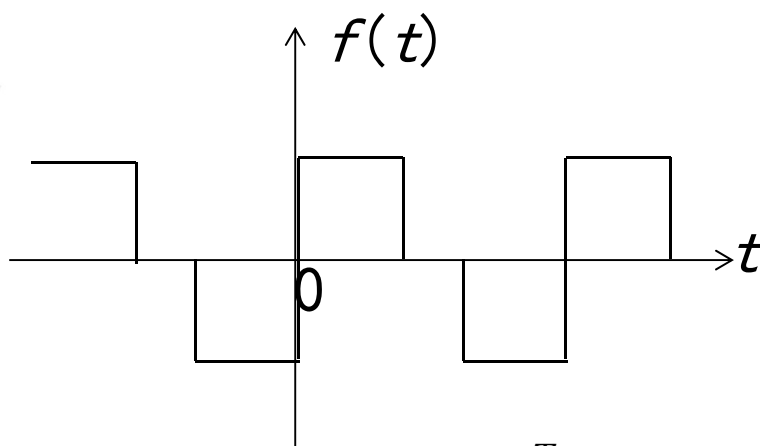




线性系统频域分析

41

2. 奇函数 $f(t) = -f(-t)$ 原点对称



$$a_n = \frac{2}{T} \int_{-\frac{T}{2}}^{\frac{T}{2}} f(t) \cos n\omega t dt = 0$$

$$b_n = \frac{4}{T} \int_0^{\frac{T}{2}} f(t) \sin n\omega t dt$$

只有正弦项



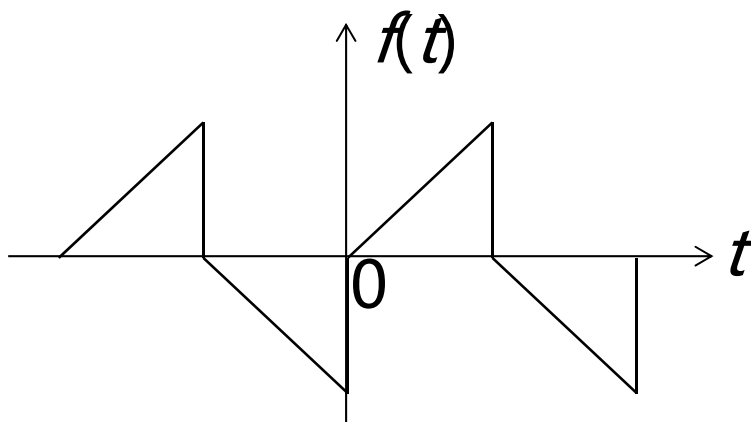


线性系统频域分析

42

3. 奇谐波函数

$$f(t) = -f\left(t \pm \frac{T}{2}\right) \text{ 镜像对称}$$



$k=0, 2, 4\dots$ 时, $a_k=0, b_k=0$

$k=1, 3, 5\dots$ 时, a_k, b_k 有值

- ◆ 电力系统中,一般地讲,奇次谐波引起的危害比偶次谐波更多更大。
- ◆ 在平衡的三相系统中,由于对称关系,偶次谐波已经被消除了,只有奇次谐波存在
- ◆ 对于三相整流负载,谐波电流是 $6n \pm 1$ 次谐波,例如5、7、11、13、17、19等
- ◆ 变频器主要产生5、7次谐波

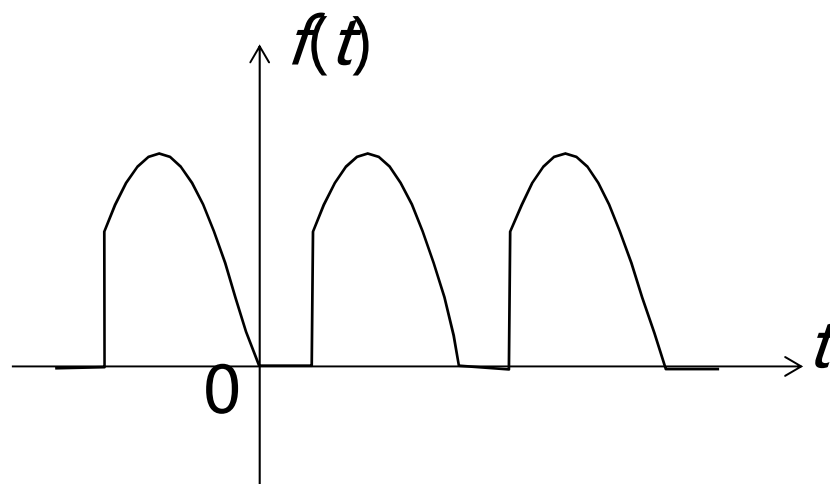


线性系统频域分析

43

4. 偶谐波函数

$$f(t) = f\left(t \pm \frac{T}{2}\right) \quad \text{前后半周波形重合}$$



$$k=1, 3, 5 \dots a_k=0, b_k=0$$

$$k=2, 4, 6 \dots a_k, b_k \text{ 有值}$$

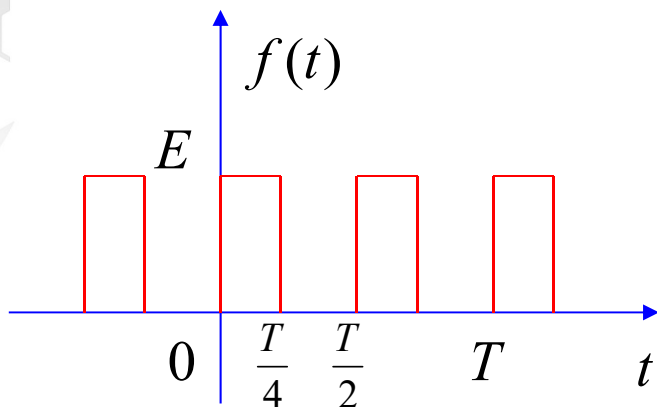




线性系统频域分析

44

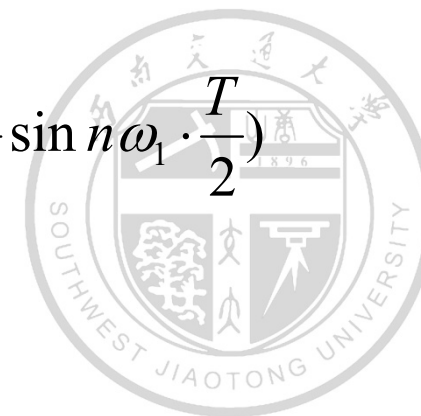
例：已知波形如图，求傅里叶级数展开式。



解：

$$\begin{aligned} a_0 &= \frac{1}{T} \int_0^T f(t) dt = \frac{1}{T} \left(\int_0^{T/4} E dt + \int_{T/2}^{3T/4} E dt \right) \\ &= \frac{E}{T} \left(\frac{T}{4} + \frac{3T}{4} - \frac{T}{2} \right) = \frac{E}{2} \end{aligned}$$

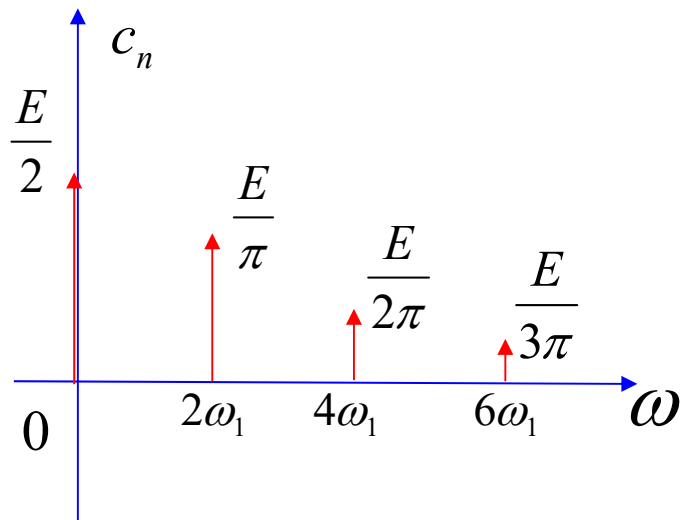
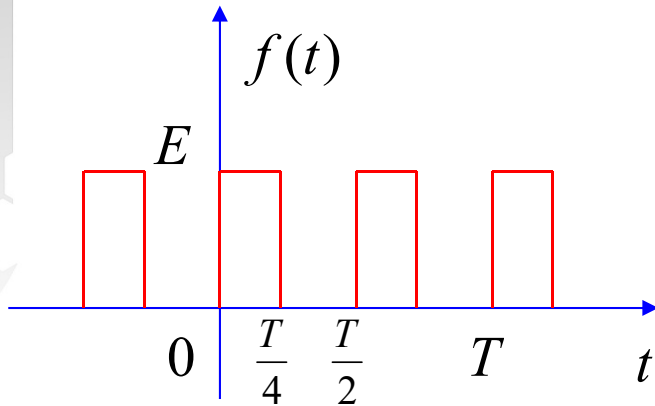
$$\begin{aligned} a_n &= \frac{2}{T} \left(\int_0^{T/4} E \cos n\omega_1 t dt + \int_{T/2}^{3T/4} E \cos n\omega_1 t dt \right) \\ &= \frac{2E}{T} \left(\frac{1}{n\omega_1} \sin n\omega_1 \cdot \frac{T}{4} + \frac{1}{n\omega_1} \sin n\omega_1 \cdot \frac{3T}{4} - \frac{1}{n\omega_1} \sin n\omega_1 \cdot \frac{T}{2} \right) \\ &= \frac{E}{n\pi} \left(\sin \frac{n\pi}{2} + \sin \frac{3n\pi}{2} \right) = 0 \end{aligned}$$





线性系统频域分析

45



$$a_0 = \frac{E}{2} \quad a_n = 0$$

$$b_n = \frac{2}{T} \left(\int_0^{T/4} E \sin n\omega_1 t dt + \int_{T/2}^{3T/4} E \sin n\omega_1 t dt \right)$$

$$= -\frac{E}{n\pi} \left(\cos \frac{n\pi}{2} - 1 + \cos \frac{3n\pi}{2} - \cos n\pi \right)$$

$$= \frac{E}{n\pi} (1 + \cos n\pi)$$

$$= \begin{cases} 0 & n \text{ 为奇数} \\ \frac{2E}{n\pi} & n \text{ 为偶数} \end{cases}$$

$$\therefore f(t) = \frac{E}{2} + \frac{2E}{\pi} \sum_{n=2j}^{\infty} \frac{1}{n} \sin \frac{2n\pi}{T} t \quad j = 1, 2, \dots$$





线性系统频域分析

46

| 序号 | 对称条件 | 傅氏系数(仅有不为零的系数) |
|----|----------|--|
| 1 | 偶函数 | $a_n = \frac{4}{T} \int_0^{T/2} f(t) \cos n\omega_0 t \, dt$ |
| 2 | 奇函数 | $b_n = \frac{4}{T} \int_0^{T/2} f(t) \sin n\omega_0 t \, dt$ |
| 3 | 奇谐函数 | $a_n = \frac{4}{T} \int_0^{T/2} f(t) \cos n\omega_0 t \, dt \quad n \text{ 为奇数}$ $b_n = \frac{4}{T} \int_0^{T/2} f(t) \sin n\omega_0 t \, dt \quad n \text{ 为奇数}$ |
| 4 | 偶谐函数 | $a_n = \frac{4}{T} \int_0^{T/2} f(t) \cos n\omega_0 t \, dt \quad n \text{ 为偶数}$ $b_n = \frac{4}{T} \int_0^{T/2} f(t) \sin n\omega_0 t \, dt \quad n \text{ 为偶数}$ |
| 5 | 奇函数、奇谐函数 | $b_n = \frac{8}{T} \int_0^{T/4} f(t) \sin n\omega_0 t \, dt \quad n \text{ 为奇数}$ |
| 6 | 奇函数、偶谐函数 | $b_n = \frac{8}{T} \int_0^{T/4} f(t) \sin n\omega_0 t \, dt \quad n \text{ 为偶数}$ |
| 7 | 偶函数、奇谐函数 | $a_n = \frac{8}{T} \int_0^{T/4} f(t) \cos n\omega_0 t \, dt \quad n \text{ 为奇数}$ |
| 8 | 偶函数、偶谐函数 | $a_n = \frac{8}{T} \int_0^{T/4} f(t) \cos n\omega_0 t \, dt \quad n \text{ 为偶数}$ |





§ 3.2 周期信号的频谱





1. 频谱的概念

三角形式

$$f(t) = c_0 + \sum_{n=1}^{\infty} c_n \cos(n\omega_1 t + \varphi_n)$$

指数形式

$$f(t) = \sum_{n=-\infty}^{\infty} F_n e^{jn\omega_1 t}$$

周期信号的频率分量总体称为信号的频谱，或周期信号所有谐波分量随频率的分布。

不同的时域信号，只是傅里叶级数的系数 c_n 、 φ_n 和 F_n 不同，因此通过研究傅里叶级数的系数来研究信号的特性。

系数 c_n 、 φ_n 和 F_n 反映了组成信号各次谐波的幅度和相位随频率变化的规律。





2. 频谱的表示

直接画出信号各次谐波对应的振幅 $c_n(|F_n|)$ 及相位 φ_n 随 ω 变化的曲线，这种线状分布图形称为信号的**频谱图**。

- 三角函数形式频谱
- 指数函数形式频谱





线性系统频域分析

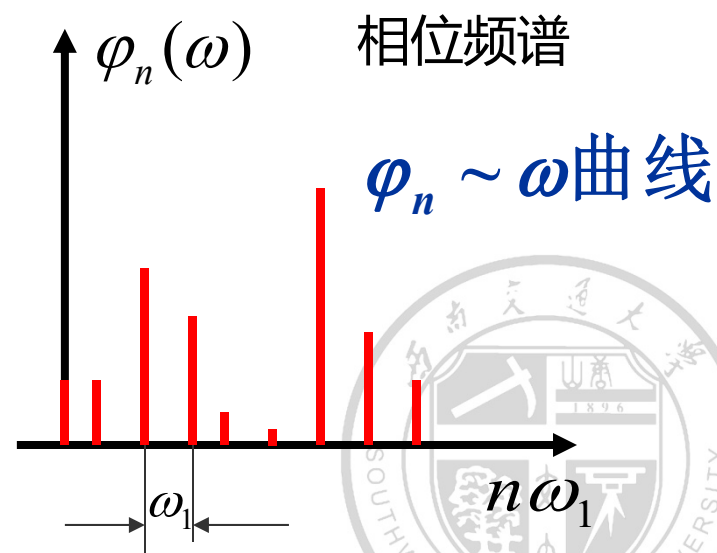
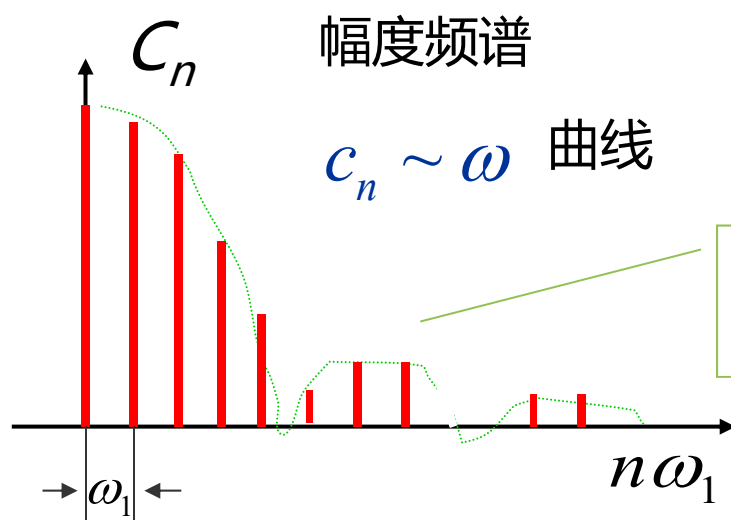
50

(1) 三角函数形式频谱

$$f(t) = c_0 + \sum_{n=1}^{\infty} c_n \cos(n\omega_1 t + \varphi_n)$$

$C_n \sim \omega$ 关系曲线称为幅度频谱图

$\varphi_n \sim \omega$ 关系曲线称为相位频谱图



单边频谱: 频谱图总在 $\omega \geq 0$ 的半平面上。



线性系统频域分析

51

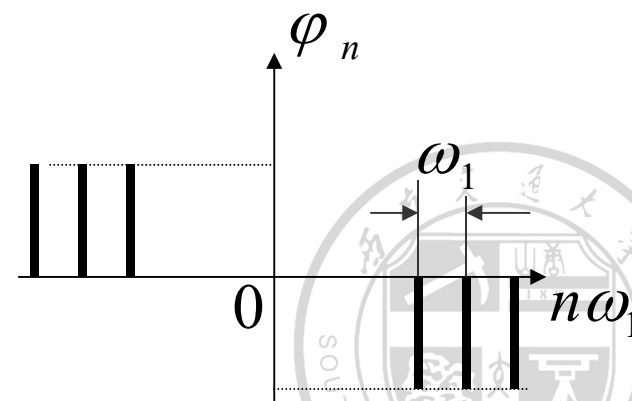
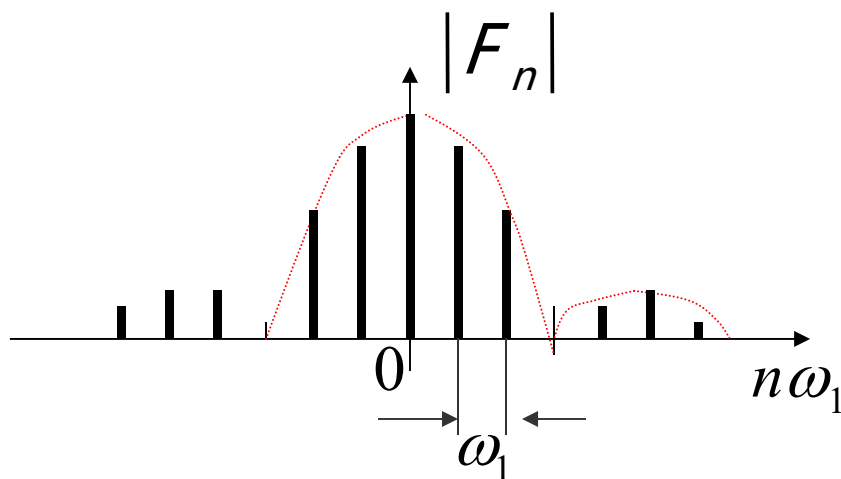
(2) 指数函数形式频谱

$$f(t) = \sum_{n=-\infty}^{\infty} F_n e^{jn\omega_1 t}$$

$$F_n = |F_n| e^{j\varphi_n}$$

$|F_n| \sim \omega$ 关系曲线称为幅频图

$\varphi_n \sim \omega$ 关系曲线称为相频图



双边频谱： $n\omega_1$ 由 $-\infty$ 到 $+\infty$ 在整个 ω 轴变化



(3) 两种频谱图的关系

三角函数形式: $c_n \sim \omega, \varphi_n \sim \omega$ 单边频谱

指数函数形式: $|F_n| \sim \omega, \varphi_n \sim \omega$ 双边频谱

• 幅频特性 $|F_n| = \frac{1}{2} \sqrt{a_n^2 + b_n^2} = \frac{1}{2} c_n \quad (n \neq 0) \quad F_0 = a_0 = c_0$

幅度谱为偶函数

$$|F_n| = |F_{-n}|$$

• 相频特性 $\varphi_n = \operatorname{tg}^{-1} \left(\frac{-b_n}{a_n} \right)$

相位频谱为奇函数

$$\varphi(n\omega_1) = -\varphi(-n\omega_1)$$





3、 周期信号频谱的特点

离散性：频谱由不连续的谱线组成，每一条谱线代表一个正弦分量

谐波性：每一条谱线只能出现在基波频率的**整数倍频率**上，即只有基波频率的各次谐波分量

收敛性：即各次谐波分量的振幅随着谐波次数的增大而逐渐减小。

注意：冲激函数序列的频谱不满足收敛性。

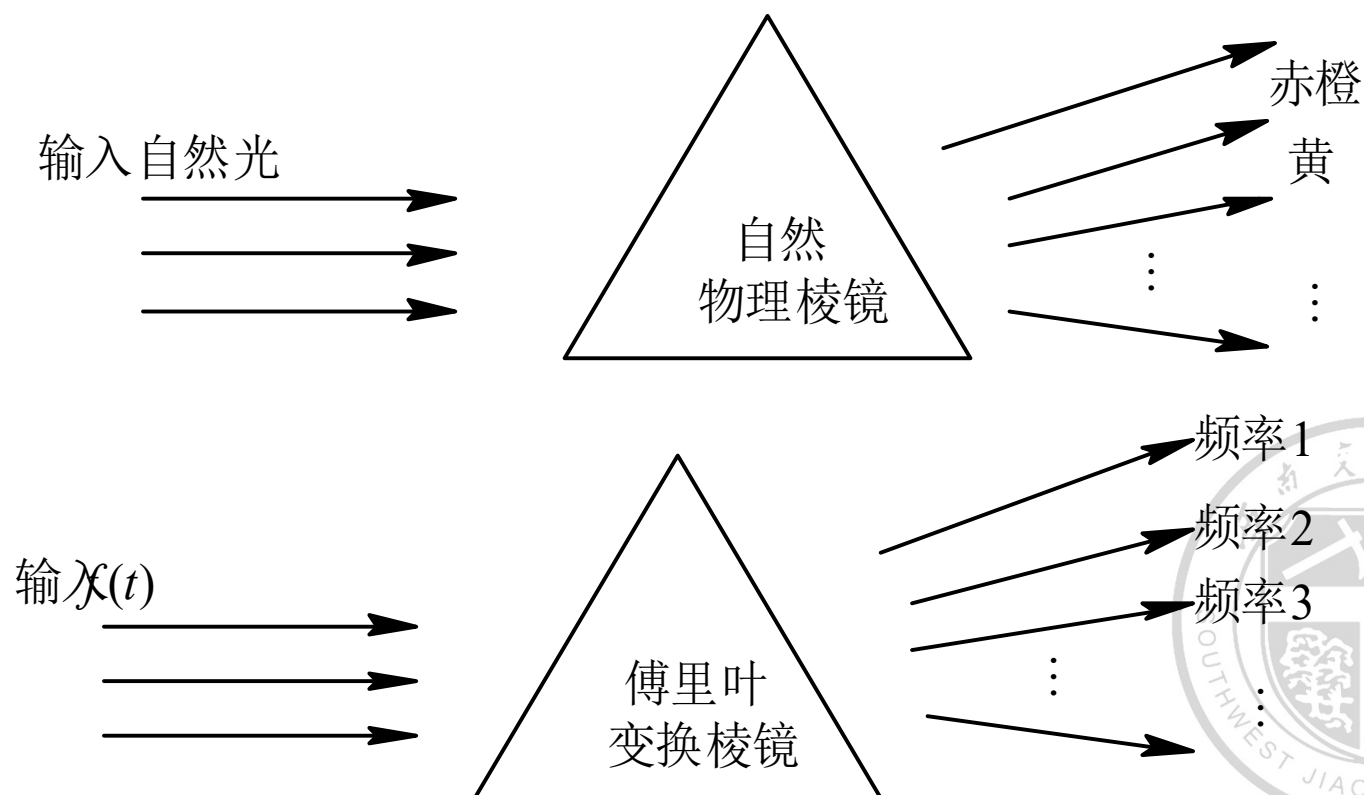




线性系统频域分析

54

一个棱镜,它把一个信号函数分解为众多的频率分量。 这些频率分量又可以重构原来的信号函数。 这种变换是可逆的且保持能量不变。

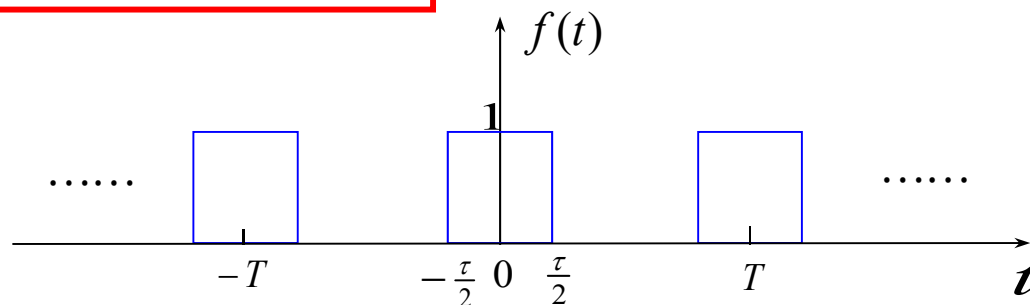




线性系统频域分析

55

周期矩形脉冲的频谱

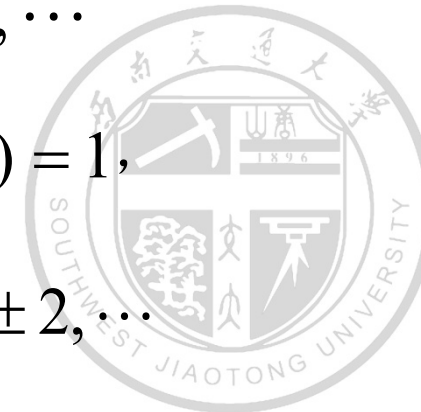


$$F_n = \frac{1}{T} \int_{-\frac{\tau}{2}}^{\frac{\tau}{2}} e^{-jn\omega_1 t} dt = \frac{1}{T} \cdot \frac{e^{-jn\omega_1 t}}{-jn\omega_1} \bigg|_{-\frac{\tau}{2}}^{\frac{\tau}{2}} = \frac{2}{T} \cdot \frac{\sin \frac{n\omega_1 \tau}{2}}{n\omega_1} = \frac{\tau}{T} \cdot \frac{\sin \frac{n\omega_1 \tau}{2}}{\frac{n\omega_1 \tau}{2}}$$
$$n = 0, \pm 1, \pm 2, \dots$$

$Sa(x) = \frac{\sin x}{x}$ 为抽样函数信号, 当 $x \rightarrow 0$ 时 $Sa(0) = 1$,

频谱为:

$$F_n = \frac{\tau}{T} Sa\left(\frac{n\omega_1 \tau}{2}\right) \quad n = 0, \pm 1, \pm 2, \dots$$





线性系统频域分析

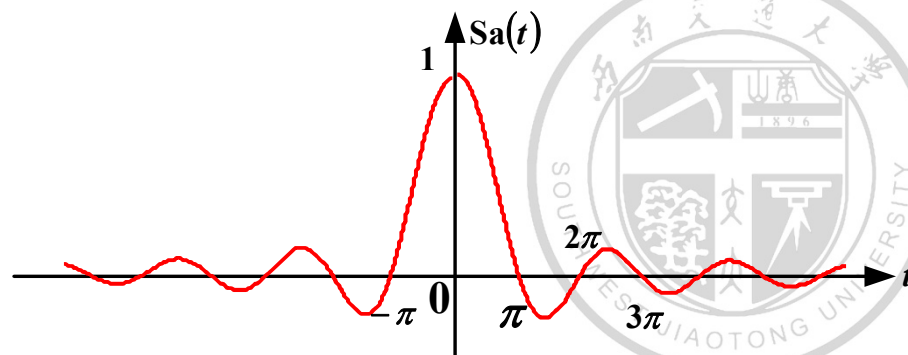
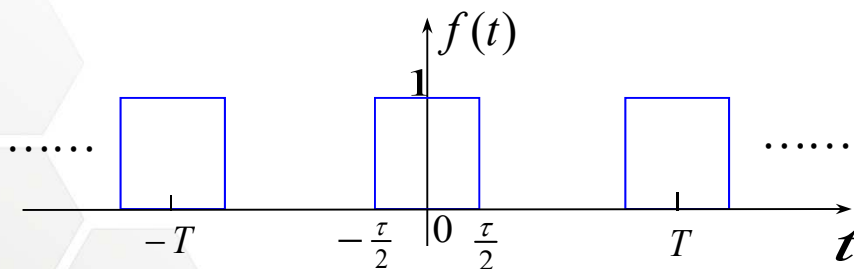
56

$$F_n = \frac{\tau}{T} \text{Sa}\left(\frac{n\omega_1\tau}{2}\right)$$

其中: $\omega_1 = \frac{2\pi}{T}$ 为基波频率

F_n 在 $\omega = n\omega_1$ 有值

$\text{Sa}\left(\frac{\omega\tau}{2}\right)$ 为包络线, $\frac{\omega\tau}{2} = m\pi$ 即 $\omega = \frac{2m\pi}{\tau}$ 处为零





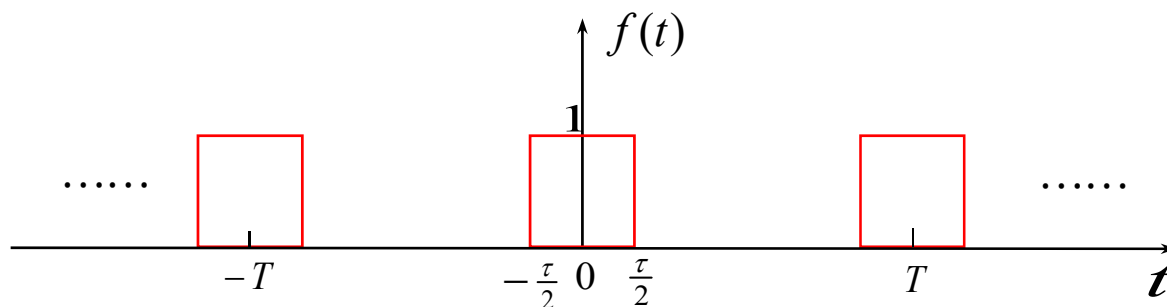
线性系统频域分析

57

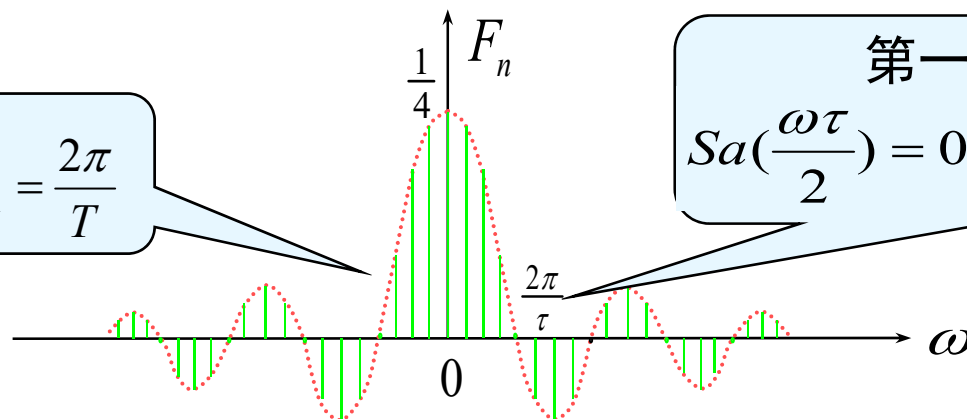
周期 T 不变，脉冲宽度 τ 变化 ①

情况 1: $\tau = \frac{T}{4}, F_n = \frac{\tau}{T} Sa(\frac{n\pi\tau}{T}) = \frac{1}{4} Sa(\frac{n\pi}{4})$

第一个过零点为 $n = 4$



谱线间隔 $\omega_1 = \frac{2\pi}{T}$



第一个过零点:
 $Sa(\frac{\omega\tau}{2}) = 0 \Rightarrow \frac{\omega\tau}{2} = \pi \Rightarrow \omega = \frac{2\pi}{\tau} = 4\omega_1$



线性系统频域分析

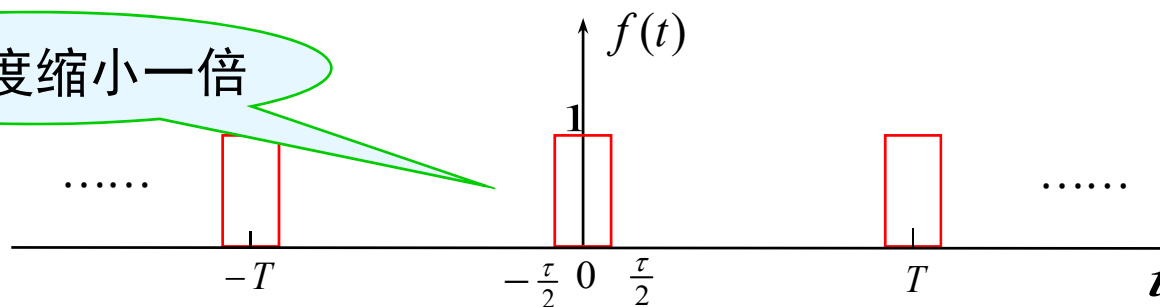
58

周期 T 不变，脉冲宽度 τ 变化 ②

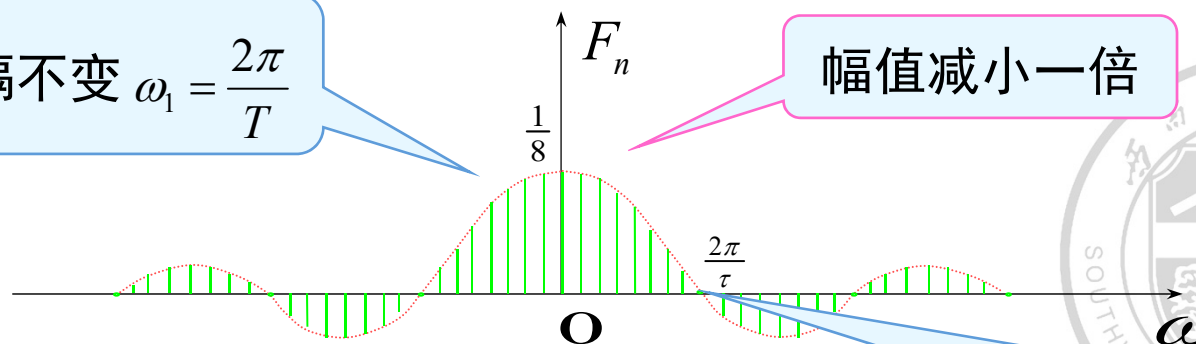
情况 2: $\tau = \frac{T}{8}, F_n = \frac{\tau}{T} Sa(\frac{n\pi\tau}{T}) = \frac{1}{8} Sa(\frac{n\pi}{8})$

第一个过零点为 $n=8$

脉冲宽度缩小一倍



谱线间隔不变 $\omega_1 = \frac{2\pi}{T}$



幅值减小一倍

第一个过零点增加一倍



线性系统频域分析

59

周期 T 不变，脉冲宽度 τ 变化 ③

情况 3: $\tau = \frac{T}{16}, F_n = \frac{\tau}{T} Sa(\frac{n\pi\tau}{T}) = \frac{1}{16} Sa(\frac{n\pi}{16})$

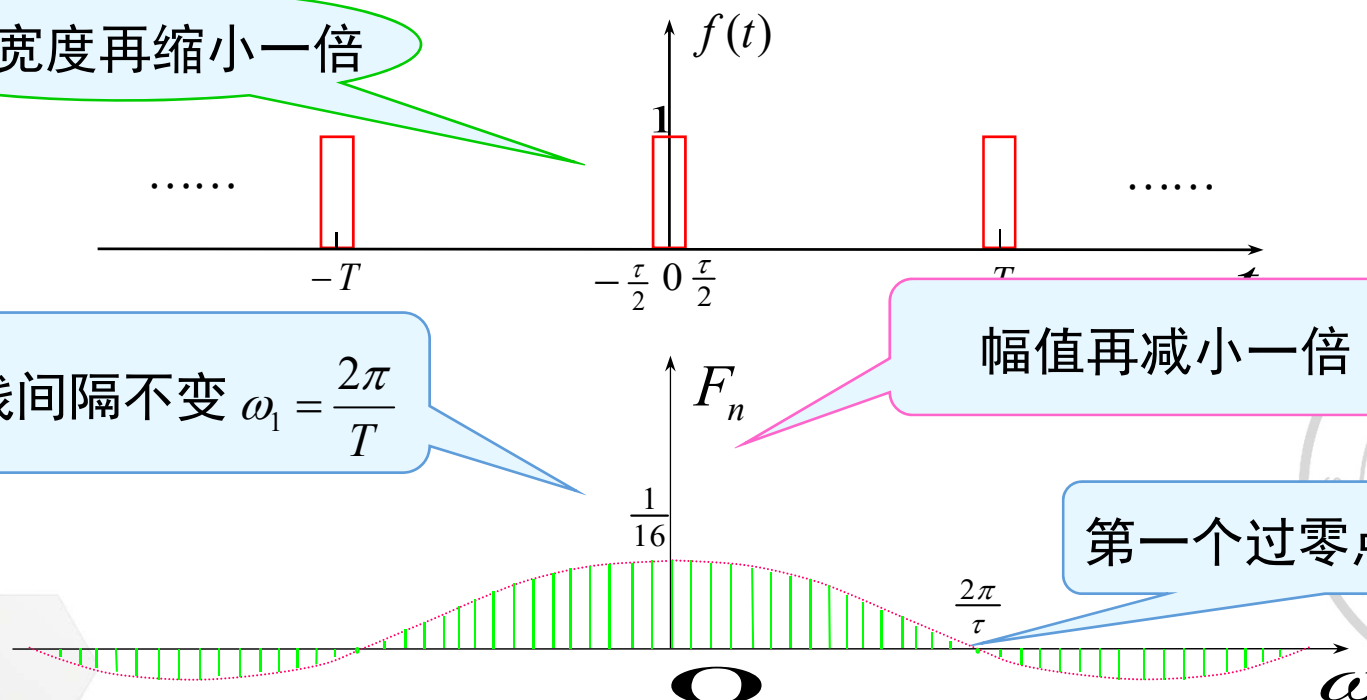
第一个过零点为 $n=16$

脉冲宽度再缩小一倍

谱线间隔不变 $\omega_1 = \frac{2\pi}{T}$

幅值再减小一倍

第一个过零点再增加一倍





结 论

τ 由大变小, F_n 的第一个过零点频率增大

$$\text{Sa}\left(\frac{\omega\tau}{2}\right) = 0 \quad \frac{\omega\tau}{2} = \pi \quad \omega = \frac{2\pi}{\tau}$$

通常将 $\omega = 0 \sim \frac{2\pi}{\tau}$ 这段频率范围称为矩形脉冲信号的频带宽度

$$\text{记为} \quad B_{\omega} = \frac{2\pi}{\tau} \quad \text{或} \quad B_f = \frac{1}{\tau}$$

τ 确定了带宽, τ 由大变小, 频谱的幅度变小。

由于 T 不变, 谱线间隔不变, 即 $\omega_1 = \frac{2\pi}{T}$ 不变。





线性系统频域分析

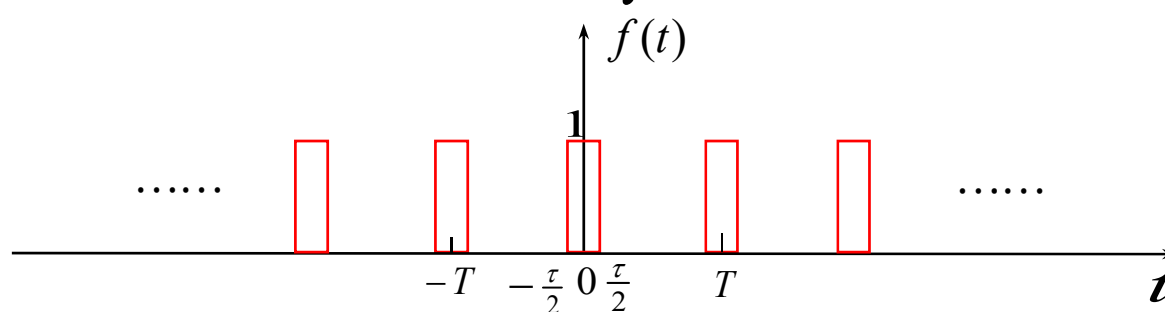
61

脉冲宽度 τ 不变, 周期 T 变化

情况 1: $T = 4\tau$ 时, 谱线间隔

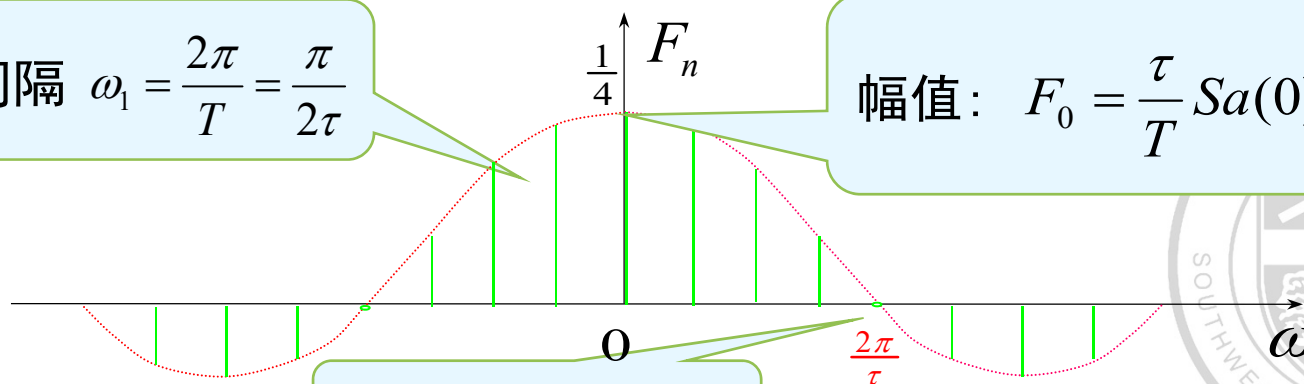
$$\textcircled{1} \quad \omega_1 = \frac{2\pi}{T} = \frac{\pi}{2\tau}$$

第一个过零点 $\omega = \frac{2\pi}{\tau}$

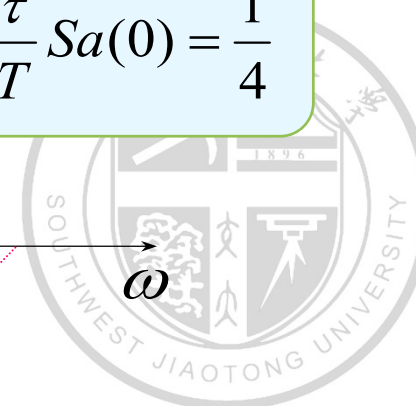


谱线间隔 $\omega_1 = \frac{2\pi}{T} = \frac{\pi}{2\tau}$

幅值: $F_0 = \frac{\tau}{T} Sa(0) = \frac{1}{4}$



第一个过零点





线性系统频域分析

62

脉冲宽度 τ 不变, 周期 T 变化

②

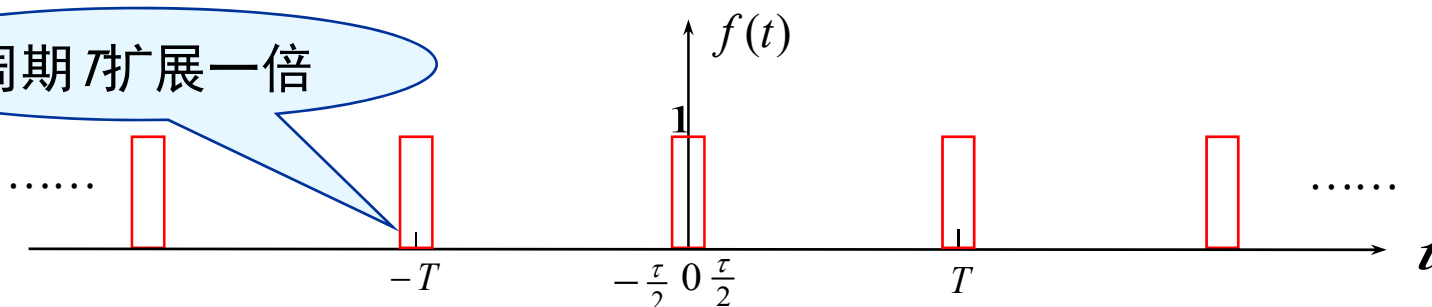
情况 2: $T = 8\tau$ 时, 谱线间隔

$$\omega_1 = \frac{2\pi}{T} = \frac{\pi}{4\tau}$$

第一个过零点

$$\omega = \frac{2\pi}{\tau}$$

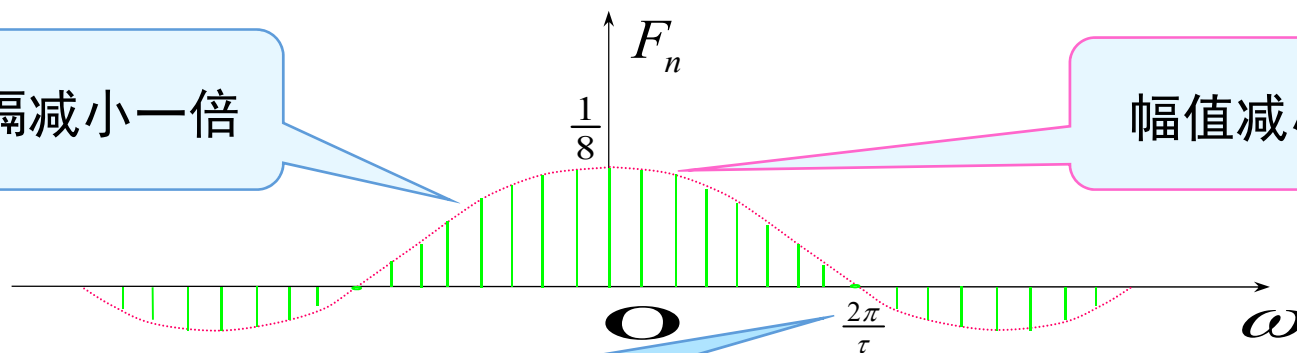
周期 T 扩展一倍



谱线间隔减小一倍

幅值减小一倍

第一个过零点不变





线性系统频域分析

63

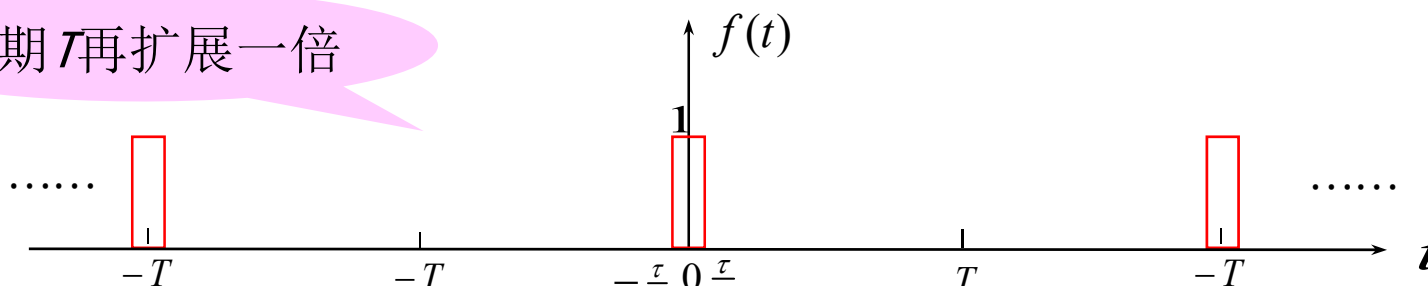
脉冲宽度 τ 不变, 周期 T 变化 ③

情况 3: $T = 16\tau$ 时, 谱线间隔

$$\omega_1 = \frac{2\pi}{T} = \frac{\pi}{8\tau}$$

第一个过零点 $\omega = \frac{2\pi}{\tau}$

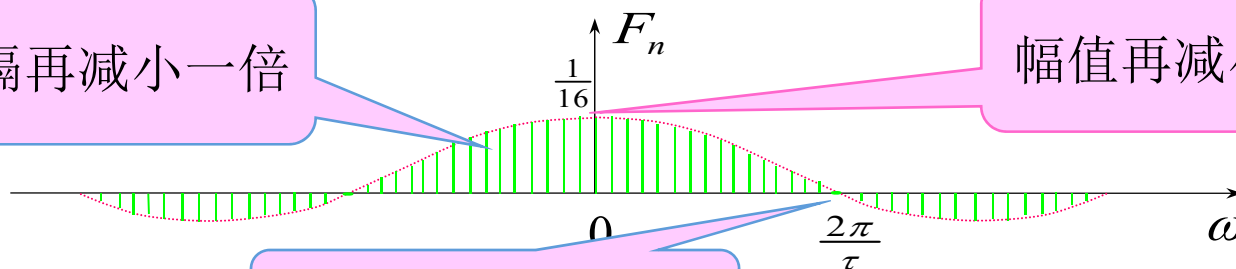
周期 T 再扩展一倍



谱线间隔再减小一倍

幅值再减小一倍

第一个过零点不变





结 论

- τ 不变, F_n 的第一个过零点频率不变

$$\text{即 } \omega = \frac{2\pi}{\tau} \quad \therefore B_f = \frac{1}{\tau} \text{ 带宽不变。}$$

- T 由小变大, 谐波频率成分丰富, 并且频谱的幅度变小。

❖ $T \rightarrow \infty$ 时, 谱线间隔 $\rightarrow 0$, 这时

:

周期信号 \rightarrow 非周期信号
离散频谱 \rightarrow 连续频谱





§ 3.3 非周期信号的 连续时间傅里叶变换



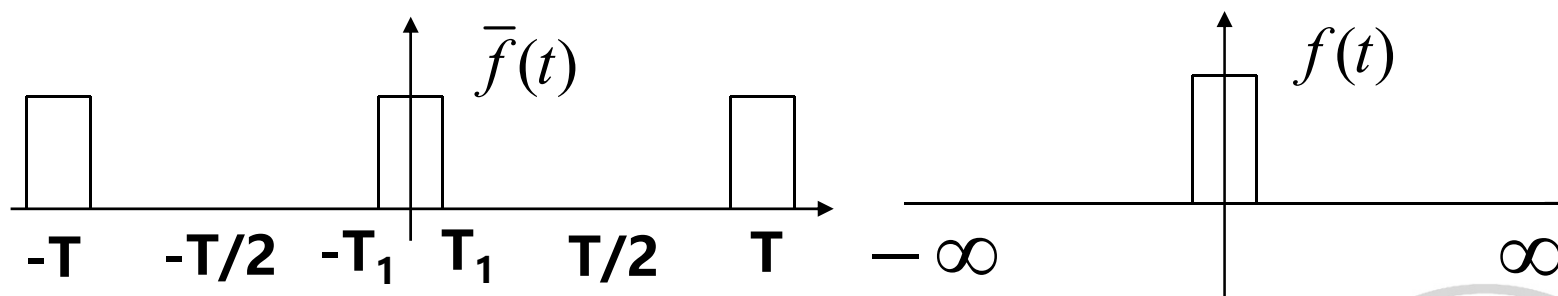


线性系统频域分析

66

周期信号的傅里叶级数变换对：

$$f(t) = \sum_{n=-\infty}^{\infty} F_n e^{jn\omega_1 t} \quad F_n = \frac{1}{T} \int_T f(t) e^{-jn\omega_1 t} dt$$



当周期矩形脉冲信号的周期 T 无限大时,就演变
成了非周期信号的单脉冲信号





线性系统频域分析

67

$$T \rightarrow \infty$$

$\bar{f}(t)$ 周期信号 \longrightarrow 非周期信号 $f(t)$

谱线间隔 $\omega_1 = \frac{2\pi}{T} \longrightarrow 0$

离散谱 \longrightarrow 连续谱

复振幅 $F_n = \frac{1}{T} \int_T f(t) e^{-jn\omega_1 t} dt \longrightarrow 0$

因此，对非周期信号不能再用 F_n 表示频谱，必须引入一个新的量——**频谱密度函数**。



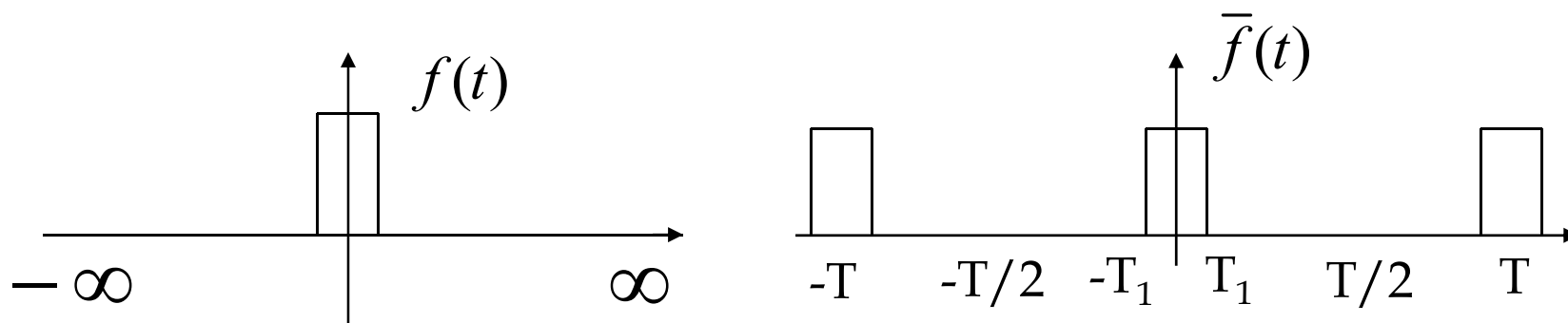


线性系统频域分析

68

一. 傅里叶变换

假定非周期信号 $f(t)$ 如图，由它构成的周期信号 $\bar{f}(t)$ 如图，周期为 T



周期信号 $\bar{f}(t)$ 的傅里叶级数：

$$\bar{f}(t) = \sum_{n=-\infty}^{\infty} F_n e^{jn\omega_1 t}$$

复振幅为

$$F_n = \frac{1}{T} \int_{-\frac{T}{2}}^{\frac{T}{2}} \bar{f}(t) e^{-jn\omega_1 t} dt$$





线性系统频域分析

69

$$F_n = \frac{1}{T} \int_{-\frac{T}{2}}^{\frac{T}{2}} \bar{f}(t) e^{-jn\omega_1 t} dt$$

两边乘以 T , 得 $TF_n = \frac{2\pi F_n}{\omega_1} = \frac{F_n}{f} = \int_{-\frac{T}{2}}^{\frac{T}{2}} \bar{f}(t) e^{-jn\omega_1 t} dt$

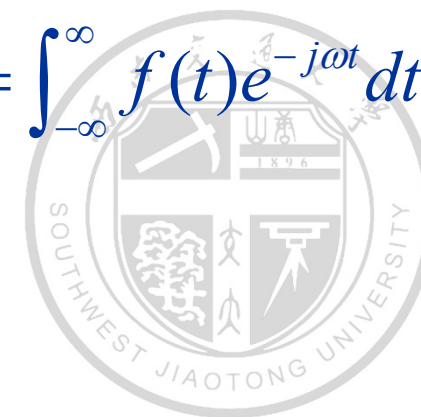
当周期 $T \rightarrow \infty$ 时, 积分区间为 $(-\infty, \infty)$, $\bar{f}(t) \rightarrow f(t)$

$\omega_1 = \frac{2\pi}{T} \rightarrow 0$ 用 $\Delta\omega$ 表示,

$$\lim_{T \rightarrow \infty} TF_n = \lim_{\omega_1 \rightarrow 0} \frac{2\pi F_n}{\omega_1} = \lim_{T \rightarrow \infty} \int_{-\frac{T}{2}}^{\frac{T}{2}} \bar{f}(t) e^{-jn\omega_1 t} dt = \int_{-\infty}^{\infty} f(t) e^{-j\omega t} dt$$

记作

$$F(j\omega) = \int_{-\infty}^{\infty} f(t) e^{-j\omega t} dt$$





线性系统频域分析

70

$$F(j\omega) = \int_{-\infty}^{\infty} f(t)e^{-j\omega t} dt$$

$$= \lim_{T \rightarrow \infty} TF_n = \lim_{\omega_1 \rightarrow 0} \frac{2\pi F_n}{\omega_1} = \lim_{f \rightarrow 0} \frac{F_n}{f}$$

$F(j\omega)$ 称为原函数 $f(t)$ 的频谱密度函数

$$\text{则 } \lim_{T \rightarrow \infty} F_n = \lim_{T \rightarrow \infty} \frac{F(j\omega)}{T} = \lim_{\omega_1 \rightarrow 0} \frac{F(j\omega)\omega_1}{2\pi} = \frac{F(j\omega)}{2\pi} \Delta\omega$$

当周期 $T \rightarrow \infty$ 时

$$F_n \rightarrow \frac{F(j\omega)}{2\pi} \Delta\omega$$





线性系统频域分析

71

下面分析当周期 $T \rightarrow \infty$ 时，傅里叶级数的变化

$$\bar{f}(t) = \sum_{n=-\infty}^{\infty} F_n e^{jn\omega_1 t}$$

$$F_n \rightarrow \frac{F(j\omega)}{2\pi} \Delta\omega$$

当周期 $T \rightarrow \infty$ 时

$$\bar{f}(t) \rightarrow f(t)$$

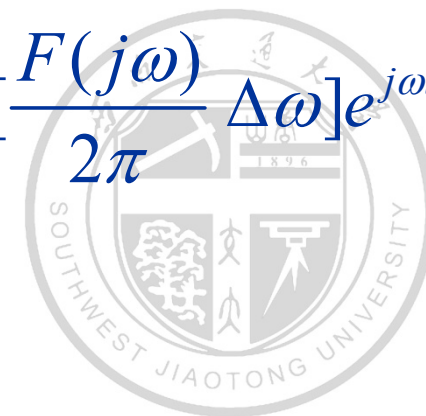
$$\omega_1 = \frac{2\pi}{T} \rightarrow 0 \quad \text{用 } \Delta\omega \text{ 表示}$$

$$n\omega_1 \rightarrow \omega \quad \sum_{n=-\infty}^{\infty} \rightarrow \int_{-\infty}^{\infty}$$

$$f(t) = \lim_{T \rightarrow \infty} \bar{f}(t) = \lim_{\omega_1 \rightarrow 0} \sum_{n=-\infty}^{\infty} F_n e^{jn\omega_1 t} = \lim_{\omega_1 \rightarrow 0} \sum_{n=-\infty}^{\infty} \left[\frac{F(j\omega)}{2\pi} \Delta\omega \right] e^{j\omega t}$$

所以

$$f(t) = \frac{1}{2\pi} \int_{-\infty}^{\infty} F(j\omega) e^{j\omega t} d\omega$$





线性系统频域分析

72

$$f(t) = \frac{1}{2\pi} \int_{-\infty}^{\infty} F(j\omega) e^{j\omega t} d\omega$$

$$F(j\omega) = \int_{-\infty}^{\infty} f(t) e^{-j\omega t} dt$$

傅里叶变换对

由 $f(t)$ 求 $F(j\omega)$ 称为傅里叶正变换

由 $F(j\omega)$ 求 $f(t)$ 称为傅里叶逆变换

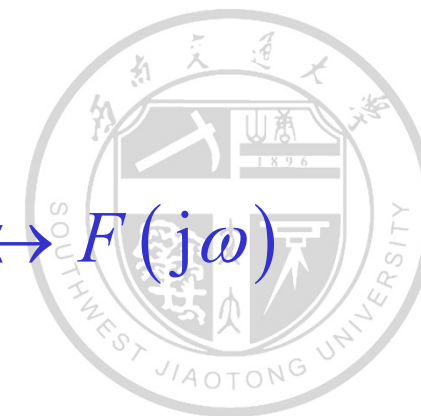
$F(j\omega)$ 称为 $f(t)$ 的变换函数 $f(t)$ 称为 $F(j\omega)$ 原函数

简记为

$$F[f(t)] = F(j\omega)$$

$$F^{-1}[F(j\omega)] = f(t)$$

$$f(t) \leftrightarrow F(j\omega)$$





线性系统频域分析

73

二. 非周期信号的频谱函数

$$f(t) = \frac{1}{2\pi} \int_{-\infty}^{\infty} F(j\omega) e^{j\omega t} d\omega$$

说明非周期信号 $f(t)$ 表示成复指数 $e^{j\omega t}$ 的连续和

振幅为 $\frac{1}{2\pi} F(j\omega) d\omega$,

对任一 ω , 因 $d\omega$ 为无穷小,

所以 $e^{j\omega t}$ 的绝对振幅 $\left| \frac{1}{2\pi} F(j\omega) d\omega \right| \rightarrow 0$ 也是无穷小

虽然各频谱幅度无限小, 但相对大小仍有区别

$$F(j\omega) = \lim_{T \rightarrow \infty} T F_n = \lim_{\omega_1 \rightarrow 0} \frac{2\pi F_n}{\omega_1} = \lim_{f \rightarrow 0} \frac{F_n}{f}$$

$F(j\omega)$ 称为非周期函数 $f(t)$ 的频谱密度函数
或简称频谱函数、频谱





频谱密度函数的表示

$$F(j\omega) = \int_{-\infty}^{\infty} f(t) e^{-j\omega t} dt = F[f(t)]$$

频谱密度函数 $F(j\omega)$ 一般是复函数，可记为

$$F(j\omega) = |F(j\omega)| e^{j\varphi(\omega)}$$

$|F(j\omega)| \sim \omega$ 幅度频谱

$\varphi(\omega) \sim \omega$ 相位频谱





傅里叶变换存在的充分条件

$$\int_{-\infty}^{\infty} |f(t)| dt < \infty$$

即 $f(t)$ 绝对可积 是傅里叶变换存在的充分条件

所有能量信号均满足此条件

但阶跃函数、正弦函数等不满足上述绝对可积条件，
由于引入广义函数，这些函数在广义的意义上存在傅里叶
变换





线性系统频域分析

76





线性系统频域分析

77





西南交通大学



谢谢大家!

